



Piattaforma polifunzionale per il trattamento dei rifiuti liquidi

Sede legale: Strada Calvani, 8 - 70124 Bari

Sede operativa: località Masseria Zappi - 73026 Melendugno (Le)

Aggiornamento per riesame/rinnovo
a seguito della

- Pubblicazione della decisione della commissione n.2018/1147 del 10/08/2018 "Conclusioni sulle Migliori Tecnologie Disponibili (BAT) per il trattamento dei rifiuti" ai sensi della direttiva 2010/75/Ue del Parlamento Europeo e del Consiglio"
- L.R.32/2018: disciplina in materia di emissioni odorigene



Riferimenti catastali: Fg. 44 p.lla 90,92

Autorizzazione Integrata Ambientale vigente:
DDR 115 del 18/05/2011

Consulenza tecnica

Ing. Daniela Travisani

Via F.Rossi - 76012 Canosa di Puglia (BT)

e-mail: daniela.travisani@ingpec.eu



Legale rappresentante

Sig.Italo Forina

Strada Calvani, 8 - 70124 Bari

Tel: 348.6056759

indirizzo PEC: ecolio2srl@pec.it

ECOLIO s.r.l.
L'Amministratore

ELABORATO

DATA

SCALA

ALLEGATO

TRATTAMENTO TERMICO - RELAZIONE TECNICA -

04-2021

R.AIA 6

AGGIORNAMENTO

DATA

DESCRIZIONE

REV 00

04-2021

EMISSIONE PER ISTANZA RINNOVO/RIESAME

INDICE

1.	PREMESSA	2
2.	GESTIONE DEI RIFIUTI IN INGRESSO	4
3.	CONSIDERAZIONI DI CARATTERE GENERALE	5
4.	TRATTAMENTO TERMICO	7
4.1.	Campo di applicazione	7
4.2.	Caratteristiche dell'impianto di evaporazione	8
4.3.	Strumentazione per il controllo del processi	13
4.4.	Descrizione del processo	15
5.	PRINCIPALI FLUSSI IN INGRESSO ED USCITA DAL COMPARTO TERMICO	19
6.	ANALISI E QUANTIFICAZIONE DELLE EMISSIONI	20
5.4.	PUNTO E1: STATO DI FATTO	23
5.5.	SISTEMA DI ABBATTIMENTO PUNTO Et	24
7.	ABBATTIMENTO EMISSIONI IN ATMOSFERA: STATO DI PROGETTO	25
6.1.	Ottimizzazione e potenziamento impianto a carbone attivo	26
6.1.1.	Unità 1/A – Abbattimento H2S	31
6.1.2.	Unità 1/B – Abbattimento NH3	34
6.1.3.	Unità 2 - Dimensionamento dell'unità di adsorbimento a carboni attivi	35
6.1.3.1.	VERIFICA DEL FILTRO ESISTENTE (FILTRO 1)	35
6.1.3.2.	DIMENSIONAMENTO DEL FILTRO DI FINISSAGGIO (FILTRO 2)	39

INDICE DELLE FIGURE

Figura 1 – Impianto di evaporazione della ECOLIO srl	8
Figura 2 – Serbatoi alimento sezione termica	9
Figura 3– Serbatoio D102B alimento del serbatoio D104B	9
Figura 4 – Serbatoio di stoccaggio D106	10
Figura 5– Serbatoio di stoccaggio D122	11
Figura 6 – Modulo Biologico A con indicazione punto immissione condensato	12
Figura 7 – Cabina di consegna del gas metano	16
Figura 8 – Torre di raffreddamento	18
Figura 9 – Punto emissione E1	23
Figura 10 – Barilotto carboni attivi	24
Figura 11 – Punto emissione Et	24
Figura 12 - Schema a blocchi trattamento termico – stato progetto -	27
Figura 13 – Sistema potenziamento ed ottimizzazione carboni attivi	29
Figura 14 – Condizioni di esercizio filtro a carboni attivi	42

INDICE DELLE TABELLE

Tabella 1 -Corrente gassosa da trattare	28
Tabella 2 - Make-up [sol. NaOH]	33
Tabella 3 - Make-up [sol. H2SO4]	34
Tabella 4 - Corrente gassosa deumidificata in uscita dalle Unità 1/B	35
Tabella 5 – Parametri progetto FILTRO 2	39
Tabella 6 - Dimensionamento sezione di ingresso/uscita	39

INDICE DEGLI APPENDICI

Appendice 1 – Scheda tecnica termoigrometro	44
Appendice 2 – Scheda tecnica PID	45
Appendice 3 – Dimensionamento colonna abbattimento H ₂ S	48
Appendice 4 - Isotherme, capacità di adsorbimento del carbone attivo per diversi inquinanti e scheda tecnica	56

1. PREMESSA

La “ECOLIO s.r.l.” è proprietaria di una piattaforma polifunzionale per il trattamento dei rifiuti liquidi speciali, nata negli anni '90 in località Masseria Zappi nell'area industriale del comune di Melendugno.

La ditta, avente sede legale in Strada Calvani, 8 in Bari (BA), è iscritta alla Camera di Commercio, Industria, Artigianato e Agricoltura di Bari al n. 10304880155.

La ditta “ECOLIO srl” ha ottenuto parere favorevole di compatibilità ambientale (V.I.A), con Determinazione Dirigenziale n.75 del 08/02/2007 della Regione Puglia.

Attualmente la piattaforma polifunzionale depurativa è in possesso dell'Autorizzazione Integrata Ambientale ex D.Lgs. n.59/2005 e ss.mm.ii., ora assorbito nella Parte II – Titolo IIIbis del D.Lgs. n.152/2006 e ss.mm.ii., rilasciata dalla Regione Puglia giusta Determinazione Dirigenziale n.115 del 18 maggio 2011 con la quale è stata autorizzata a svolgere le seguenti attività di smaltimento rifiuti:

- D8 - trattamento biologico;
- D9 – trattamento fisico – chimico;
- D15 – deposito preliminare

La piattaforma rappresenta un valido riferimento per il territorio regionale, indispensabile per evitare lo smaltimento incontrollato dei reflui e restituire all'ambiente la risorsa più preziosa: l'acqua.

Nel caso di impianti di trattamento di rifiuti liquidi come quello in esame non si può trascurare un aspetto essenziale: pur originati nell'ambito di cicli produttivi simili, si rileva che rifiuti liquidi classificabili con il medesimo CER, ai fini del trattamento, possono presentare caratteristiche chimiche molto diverse poiché dipendenti dalle materie prime e dalle sostanze utilizzate in quel determinato processo industriale che ha originato la specifica partita di rifiuti che si intende trattare. In altre parole, il conferimento del rifiuto in impianto è possibile solo se ne è preventivamente ed analiticamente dimostrata la “compatibilità” fra la specifica partita che si chiede di conferire con le tecnologie presenti in impianto. Ogni tecnologia di trattamento esistente in impianto (chimico-fisico, biologico e termico) ha dei limiti d'impiego rispetto alle diverse tipologie di rifiuti liquidi che si possono ipotizzare di trattare. Esiste infatti un range di applicabilità per le diverse tipologie di trattamenti esistenti in impianto alle diverse tipologie di rifiuti in ingresso. Sussistendo alle limitazioni all'utilizzo degli impianti (es. nel caso del trattamento biologico, sostanze tossiche che inibiscono/danneggiano la biomassa), la verifica preventiva della qualità dei rifiuti in ingresso è essenziale ai fini di una corretta conduzione dell'attività.

La casistica dei rifiuti liquidi potenzialmente producibili dalle diverse tipologie di attività industriali è estremamente variegata sotto il profilo degli inquinanti che possono essere contenuti nei residui liquidi nonché variabile sotto il profilo delle concentrazioni di dette sostanze in essi contenute.

In sostanza la composizione chimica di un determinato rifiuto liquido dipende, oltre che dal tipo di ciclo produttivo di origine, anche dalle sostanze specificatamente in esso utilizzate.

CONSEGUENTEMENTE LA PECULIARITÀ DI QUESTA TIPOLOGIA DI RIFIUTI È CHE, A SECONDA DEL CONTENUTO DI SOSTANZE INQUINANTI NELLA MASSA LIQUIDA CONFERITA IN IMPIANTO, CAMBIA IL TRATTAMENTO NECESSARIO per assicurare il rilascio dell'effluente nell'ambiente naturale nei limiti di legge [n.d.r. nel caso della ditta “ECOLIO srl” trattasi della Tab.4 dell'All.V alla Parte III del D.Lgs. n.152/2006 e ss.mm.ii.].

In particolare la piattaforma è costituita da un sistema impiantistico che opera in batch, pertanto in maniera discontinua, mediante le seguenti linee di trattamento:

- ✓ Linea impiantistica trattamento termico (descritta nella Rel. RAIA.6), con capacità autorizzata di trattamento pari a 100 m3/giorno , per 300 gg / anno;
- ✓ Linea impiantistica trattamento biologico (descritta nella Rel. RAIA.5), con capacità autorizzata di trattamento pari a 1900 m3/giorno per 365 gg/ anno;
- ✓ Sezione fanghi (descritta nella Rel. RAIA.7).

Nella presente relazione si descrive in maniera esaustiva il trattamento termico (Attività D9 ex All. B alla Parte IV del D. Lgs. N. 152/2006 e ss.mm.ii.), e la proposta migliorativa progettata dalla società in virtù delle conclusioni sulle BAT di cui alla Decisione di Esecuzione (UE) 2018/1147 della Commissione del 10.08.2018, che stabilisce le conclusioni sulle migliori tecniche disponibili (BAT) per il trattamento dei rifiuti, ai sensi della direttiva 2010/75/UE del Parlamento Europeo e del Consiglio.(cfr. DIAGRAMMA3.2 TRATTAMENTO TERMICO - STATO DI PROGETTO).

Le operazioni di miscelazione di seguito descritte terranno conto della rinuncia da parte della Società Ecolio srl, alla miscelazione in deroga tra rifiuti pericolosi aventi differenti caratteristiche di pericolosità ovvero tra rifiuti pericolosi con rifiuti non pericolosi con conseguenze conversione del serbatoio D102A da 3.500 mc come omogeneizzazione/equalizzazione a monte delle sezioni biologiche (Attività D8 ex All. B alla Parte IV del D. Lgs. N. 152/2006 e ss.mm.ii.)

Inoltre, in virtù della rinuncia all'uso di BTZ per l'alimentazione del generatore di vapore ed utilizzo del solo metano, alcune componenti impiantistiche presenti sulla sezione termica non verranno più impiegate, come meglio evidenziato nei successivi paragrafi.

2. GESTIONE DEI RIFIUTI IN INGRESSO

La società Ecolio srl, al fine di procedere ad uno smaltimento finale in condizioni di sicurezza, accetta rifiuti soltanto se accompagnati da analisi di caratterizzazione (eccetto per i bottini delle fosse settiche) effettuata da laboratorio esterno e sottoscritta da tecnico abilitato, il quale dovendo valutare analiticamente il rifiuto avrà l'obbligo e sarà l'unico in grado di raccogliere tutte le informazioni dettagliate, come previsto dalla norma in fase di campionamento, inerenti il ciclo produttivo da cui ha origine, i prodotti chimici utilizzati, le schede di sicurezza dei prodotti utilizzati, le caratteristiche di pericolosità, la bioeliminabilità, ecc. al fine di fornire un giudizio finale sulla trattabilità del rifiuto verso l'impianto di destino finale.

Il rifiuto liquido e fangoso pompabile in ingresso, prima di essere trattato, viene in ogni caso sottoposto ad una verifica preliminare in cui sono controllate (cfr. RAIA.4 - Protocollo accettazione rifiuti, trattamenti ed elenco cer – Relazione tecnica):

- ✓ le autorizzazioni e la corretta compilazione del formulario e dell'eventuale documentazione allegata,
- ✓ la rispondenza della composizione e delle caratteristiche fisiche del rifiuto con quanto indicato nel formulario e quanto previsto nell'offerta di trattamento;
- ✓ eventuale verifica radiometrica ove necessario ai sensi del D.lgs. 230 del 17/03/1995 come modificato dal D.Lgs. 241 del 26/05/2000

Infatti, sulla base della classificazione del rifiuto e delle caratteristiche di pericolosità dichiarate dal produttore di tale rifiuto, il tecnico di laboratorio della ditta o altro tecnico da essa incaricato verifica e/o stabilisce:

- ✓ Che il codice CER sia tra quelli compresi nell'Autorizzazione Integrata Ambientale;
- ✓ Che i parametri riportati nel certificato di analisi fornito dal produttore rispettino quelli richiesti;
- ✓ Il ciclo di trattamento a cui il rifiuto liquido deve essere destinato.

Pertanto l'omologazione del rifiuto si conclude con l'individuazione del ciclo di trattamento al quale verrà sottoposto il rifiuto.

Infatti a seguito dell'omologazione, il rifiuto liquido, a seconda delle sue caratteristiche, può subire i pre-trattamenti di seguito elencati:

1. eventuale separazione di solidi grossolani e di olii tramite il passaggio del refluo all'interno di sgrigliatori e tramogge di scarico;
2. eventuale separazione di impurità mediante filtrazione
3. deposito temporaneo in serbatoi di stoccaggio per la verifica di conformità del rifiuto conferito rispetto al certificato di analisi (Attività D15, All. B alla Parte IV del D. Lgs. N. 152/2006 e ss. mm. ii.).

Come specificato al punto D.2 delle BAT: *“Ogni singolo impianto è, pertanto, caratterizzato da una propria specifica dotazione tecnologica e gestionale strettamente dipendente della tipologia di rifiuto*

trattato e, per tale ragione, non può essere individuata una tipologia standard di trattamento chimico-fisico. Infatti, sebbene tutti gli impianti prevedano, in generale, la presenza di laboratori ed ispezioni regolari per il monitoraggio dei processi e tendano ad effettuare, principalmente, operazioni di neutralizzazione, le differenti modalità di pretrattamento e gestione dei fanghi adottate e le diverse combinazioni dei flussi di rifiuti in entrata fanno sì che ogni processo sia da considerarsi praticamente unico”.

3. CONSIDERAZIONI DI CARATTERE GENERALE

L'impiego del trattamento termico (che di fatto rappresenta un trattamento che sfrutta dei principi di tipo fisico) risulta necessario per i rifiuti liquidi e fangosi pompabili in ingresso pericolosi o non pericolosi contenenti inquinanti in concentrazione tale da non poter essere efficacemente trattati in altre sezioni d'impianto (es. elevate concentrazione di COD, NH₃, metalli, sostanze nocive per il corretto sviluppo del trattamento biologico).

Ciò premesso, si rileva che la sezione di trattamento termico, è alimentata da rifiuto liquido e fangoso pompabile da trattare come di seguito descritto.

È prevista una separazione a monte dei rifiuti pericolosi dai rifiuti non pericolosi (cfr T.AIA.4)::

1. **I rifiuti pericolosi** una volta verificati ed accettati, è previsto siano immessi nell'impianto mediante il *Pozzetto di Immissione (Pi4)* dotato di rete filtrante e convogliati - mediante linea dedicata - al serbatoio di stoccaggio D811 (ex serbatoio per lo stoccaggio del BTZ D107) scollegato da tutti gli altri serbatoi del D15 ed isolato nel proprio bacino di contenimento. Da questo, i rifiuti pericolosi vengono trasferiti nel serbatoio di processo D104A di alimentazione della sezione di trattamento termica. La miscelazione potrà avvenire soltanto tra rifiuti aventi stesse caratteristiche di pericolosità. In caso contrario il trasferimento potrà avvenire soltanto dopo il completo svuotamento del serbatoio D104A. Non saranno possibili miscelazioni tra rifiuti pericolosi in deroga al divieto di cui all'art. 187 c.1.
2. **I rifiuti non pericolosi non biodegradabili**, una volta analizzati ed accettati, è previsto siano immessi nell'impianto mediante il *Punto di Immissione (Pi1)*, dotato di macchina grigliatrice e trasferiti ai serbatoi di stoccaggio da D801 a D810. Da questi sono trasferiti al serbatoio D102B e da questo al D104B di alimentazione della sezione di trattamento termica; al termine dello scarico è previsto il lavaggio della linea di immissione al D15 dal punto Pi1 e del serbatoio di stoccaggio che ha contenuto il rifiuto non pericoloso non biodegradabile.

In uscita dal trattamento termico vi sono i seguenti prodotti:

- l'evaporato che, una volta condensato, è inviato nell'omogeneizzazione del modulo biologico A (Attività D8 ex All.B alla Parte IV del D.Lgs. n.152/2006 e ss.mm.ii.);
- la frazione residuale, componente inquinante del rifiuto, che è caratterizzata da un quantitativo di sostanza secca variabile in % a temperature che possono arrivare a circa 60 °C. In base alla

tipologia di rifiuto lavorato e quindi alla conseguente frazione residuale ottenuta, questa, viene stoccata in distinti serbatoi ed in particolare:

- nel serbatoio D106 se derivante dal trattamento di rifiuti non pericolosi al fine del successivo smaltimento presso terzi ex art. 183 co.1 lett. aa) del d.lgs. 152/2006 e smi (attività D15) . Tale serbatoio ha volume pari a 600m³;
- nel serbatoio D122 se derivante dal trattamento di rifiuti pericolosi al fine del successivo smaltimento presso terzi ex art. 183 co.1 lett. aa) del d.lgs. 152/2006 e smi (attività D15). Tale serbatoio ha volume pari a 28 m³;

La frazione residuale viene gestita come rifiuto prodotto da avviare a trattamento all'esterno.

Per tali rifiuti prodotti, verifiche tecniche e di mercato volte ad individuare soluzioni di avvio a gestione in tempi rapidi, compatibili con i limiti temporali di cui all'art. 183 lett.bb) escludono la possibilità di ricorrere all'istituto del deposito temporaneo che consente di optare per il criterio temporale di un anno nel solo caso in cui *"il quantitativo di rifiuti in deposito raggiunga complessivamente i 30 metri cubi di cui al massimo 10 metri cubi di rifiuti pericolosi"* nell'arco di un anno (quantità che l'impianto è capace di produrre in tempi ristretti).

Detta impossibilità gestionale viene superata dalla norma, attraverso l'autorizzazione all'operazione D15 di cui all'allegato B alla parte IV del D.Lgs. 152/06 e s.m.i.

4. TRATTAMENTO TERMICO

Nel seguito è descritta la sezione impiantistica (Impianto di evaporazione) in cui si svolge il trattamento termico dei rifiuti ed in particolare saranno illustrate le varie fasi a cui il rifiuto liquido è sottoposto (Attività D9 ex All. B alla Parte IV del D. Lgs. N. 152/2006 e ss.mm.ii.). Nell'elaborato grafico TAIA.4 è rappresentata la consistenza della linea esistente.

4.1. Campo di applicazione

In via teorica, il trattamento di evaporazione, che consente la separazione chimico – fisica dei composti solubili non biodegradabili risulta necessario se il rifiuto è pericoloso o se non pericoloso, ipotizzando di trattarne 30 m³, presenta le seguenti caratteristiche:

- rifiuto con COD > 50000 ppm;
- rifiuto con azoto ammoniacale NH₄ > 500 ppm o con un'alta concentrazione di molecole organiche azotate;
- rifiuto la cui sommatoria delle concentrazioni As, Cr totale, Ni, Cu, Pb, e Zn sia > 25 ppm;
- Hg, Cd, Se, Cr VI: > 1 ppm cadauno
- rifiuto la cui sommatoria di Al, Ba, Be, B, Fe, Mn, Sn, V sia > 300 ppm;
- rifiuto la cui sommatoria di anioni dello zolfo sia > di 5000 ppm
- rifiuto il cui anione cloruro sia > 2500 ppm
- rifiuto il cui anione fluoruro sia > di 100 ppm
- rifiuto che contiene altre sostanze con concentrazioni che superano i limiti della Tabella 3- scarico in rete fognaria;
- rifiuto che potrebbe contenere sostanze tali da alterare le condizioni di lavoro ottimali dei microorganismi e tali condizioni si verificano con pH estremi e conducibilità elettrolitica > 50 mS;

Tale sezione ha una potenzialità di 100 m³/g con funzionamento massimo di 300 giorni all'anno (considerate le attività di manutenzione) e pertanto la massima quantità di rifiuti trattabili è 300g x 100 mc/g = 30.000 m³/a di cui al massimo 9.000 m³/a possono essere rifiuti pericolosi.

L'attività di trattamento dei rifiuti mediante la sezione termina è D9 ai sensi del D. Lgs. 152/2006 e ss.mm.ii. allegato B alla parte VI.

4.2. Caratteristiche dell'impianto di evaporazione

L'evaporazione, all'interno della ECOLIO s.r.l., avviene tramite un impianto termico a triplo effetto costituito da un unico modulo avente potenzialità complessiva pari a circa 4 m³/h.



Figura 1 – Impianto di evaporazione della ECOLIO srl

L'alimentazione dell'impianto termico con il rifiuto liquido da trattare può avvenire attraverso due serbatoi da 250 mc/cad (serbatoi di alimento): dal serbatoio D104A dedicato ai rifiuti pericolosi o dal serbatoio D104B dedicato ai rifiuti non pericolosi non biodegradabili alimentato a sua volta dal serbatoio di processo D102B da 3500 mc.(cfr RAIA.4 - Protocollo accettazione rifiuti in ingresso all'attività ed elenco CER).

Nel serbatoio D104A, a seguito della rinuncia da parte della Società alla miscelazione in deroga tra rifiuti pericolosi aventi differenti caratteristiche di pericolosità e rifiuti pericolosi con rifiuti non pericolosi, è autorizzata la miscelazione tra rifiuti pericolosi aventi medesime caratteristiche di pericolosità (Attività D9 ex All.B alla Parte IV del D.Lgs. n.152/2006 e ss.mm.ii).

Nel serbatoio D102A da 3500 mc, attualmente è autorizzata la miscelazione in deroga tra rifiuti pericolosi aventi differenti caratteristiche di pericolosità e pericolosi con non pericolosi. Nell'ambito del presente rinnovo/riesame la Società propone la conversione del volume del serbatoio D102A da serbatoio per la miscelazione di rifiuti pericolosi a serbatoio di omogeneizzazione/equalizzazione dei rifiuti non pericolosi biodegradabili, a monte delle sezioni biologiche A e B (Attività D8 ex All.B alla Parte IV del D.Lgs. n.152/2006 e ss.mm.ii.).

Nell'ambito del presente rinnovo/riesame inoltre, si propone di inserire un misuratore della portata in uscita dai serbatoi di alimento alla sezione termica denominati rispettivamente FIT804 per il serbatoio D104A e FIT805 per il serbatoio D104B (cfr TAIA.4 - Trattamento termico – Layout e pipeline stato progetto)



Figura 2 – Serbatoi alimento sezione termica



Figura 3– Serbatoio D102B alimento del serbatoio D104B

I rifiuti liquidi speciali pericolosi e non pericolosi vengono trattati termicamente previo stoccaggio (Attività D15, All. B alla Parte IV del D. Lgs. N. 152/2006 e ss. mm. ii.): in particolare è utilizzato il

serbatoio D811 per i rifiuti pericolosi e i serbatoi da D801 a D810 per i rifiuti non pericolosi non biodegradabili.

In uscita dal trattamento termico vi sono due prodotti:

- la frazione residuale, componente inquinante del rifiuto, è caratterizzata da un quantitativo di sostanza secca variabile in % a temperature che possono arrivare fino a circa 60 °C. In base alla tipologia di rifiuto lavorato, la frazione residuale viene inviata nel relativo serbatoio di stoccaggio mediante apertura e chiusura di valvole posizionate lungo le tubazioni di scarico ed in particolare:

- se derivante dal trattamento di rifiuti non pericolosi, nel serbatoio D106 al fine del successivo smaltimento presso terzi ex art. 183 co.1 lett. aa) del d.lgs. 152/2006 e smi (attività D15) . Tale serbatoio ha volume pari a 600 m3.; Il conferimento a ditta terza segue le disposizioni di cui agli art. 188 del d. lgs. 152/2006 e smi ed è prevista la relativa annotazione nel quaderno delle registrazioni dei risultati delle certificazioni e classificazione dei rifiuti in uscita dall'impianto. E' identificata con il codice CER 190814: fanghi prodotti da altri trattamenti di acque reflue industriali, diversi da quelli di cui alla voce 19 08 13;

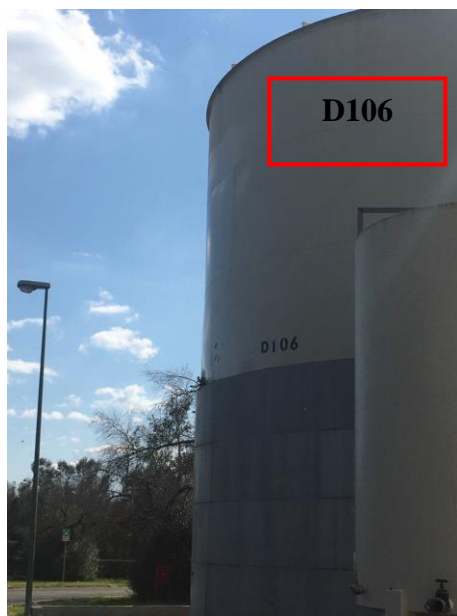


Figura 4 – Serbatoio di stoccaggio D106

- se derivante dal trattamento di rifiuti pericolosi, nel serbatoio D122 al fine del successivo smaltimento presso terzi ex art. 183 co.1 lett. aa) del d.lgs. 152/2006 e smi (attività D15). Tale serbatoio ha volume pari a 28 m3; Il conferimento a ditta terza segue le disposizioni di cui agli art. 188 del d. lgs. 152/2006 e smi ed è prevista la relativa annotazione nel quaderno delle registrazioni dei risultati delle certificazioni e classificazione dei rifiuti in uscita dall'impianto. E' identificata, se pericolosa, con il codice CER 190813*o CER 130506* a seconda che si tratti di fanghi contenenti sostanze pericolose prodotti da altri trattamenti delle acque reflue industriali oppure oli prodotti dalla separazione olio/acqua. I due

rifiuti sono separabile perché le lavorazioni avvengono per campagne dedicate in base alle tipologie di rifiuti da trattare.



Figura 5– Serbatoio di stoccaggio D122

Il serbatoio D123 da 28 mc, attualmente autorizzato allo stoccaggio dei rifiuti pericolosi (oli) derivanti dal trattamento termico per successiva attività R13, nell’ambito del presente rinnovo/riesame, verrà convertito a serbatoio per il deposito preliminare dei rifiuti non pericolosi in ingresso (Attività D15 ex All. B alla Parte IV del D. Lgs. N. 152/2006).

- l’evaporato che una volta condensato segue la linea acque ed è inviato in affinamento nella sezione di omogeneizzazione del modulo biologico A (Attività D8 ex All.B alla Parte IV del D.Lgs. n.152/2006 e ss.mm.ii.) (cfr. T.AIA.4) o nel serbatoio di omogeneizzazione/equalizzazione D102A da 3500 mc;



Figura 6 – Modulo Biologico A con indicazione punto immissione condensato

Prima dell'avvio dei rifiuti a trattamento termico verrà effettuata in laboratorio una simulazione di distillazione, che permetterà di valutare le modalità gestionali del termico (quantità di chemicals da utilizzare, portata da mantenere, ecc) al fine di ottenere un evaporato da poter affinare in sezione biologica le cui caratteristiche attese sono le seguenti:

- $4 < \text{Ph} < 9$
- Conducibilità: max 5 mS
- COD: max 5000 mg/l

4.3. Strumentazione per il controllo del processi

Di seguito la strumentazione presente per il controllo del processo:

- Misuratore portata alimento termico



- Pannello controllo sezione termica



- Pannello controllo addolcitori



- Conta litri acqua addolcita



4.4. Descrizione del processo

In generale, il processo di evaporazione sfrutta gli stessi meccanismi della distillazione, ossia ebollizione di una fase liquida e condensazione dei vapori ottenuti, e si applica quando la tensione di vapore dei componenti presenti in una soluzione, in genere acquosa, è minore rispetto a quella del solvente (acqua). Esso si realizza fornendo energia termica alla soluzione acquosa che viene riscaldata in modo da provocare una parziale vaporizzazione dell'acqua e nel contempo produrre una fase concentrata ricca di componenti "non volatili". Avviene così il fenomeno di natura squisitamente fisica, che consente la separazione spinta dell'acqua, in fase vapore, dalle sue componenti inquinanti.

L'evaporazione a singolo stadio è associata ad elevati consumi energetici, ma i notevoli sviluppi impiantistici apportati a questa tecnologia ne hanno incrementato la sua efficienza in modo considerevole.

Tra le molteplici soluzioni c'è a titolo di esempio l'evaporazione sotto vuoto, a "multiplo effetto", che utilizza vettore termico il vapore prodotto negli evaporatori a monte del processo e la termocompressione, che consente di utilizzare il vapore, opportunamente compressi, nello stesso evaporatore in cui è prodotto.

Le applicazioni di queste tecnologie sono abbastanza vaste poiché la fase condensata presenta la quasi completa assenza di sostanze solide sospese e di sostanze non volatili (sali, metalli) e la fase concentrata (rifiuto da smaltire) subisce una drastica riduzione in volume.

Il processo prevede, l'utilizzo di più unità poste in serie in cui il calore di condensazione di uno stadio viene utilizzato per riscaldare il condensato (ad esempio il refluo) proveniente dallo stadio precedente.

Normalmente si opera a pressioni intorno ai 12 – 20 kPa e a temperature comprese tra i 50 ed i 60 °C.

Qualora il processo sia attuato al fine di consentire il recupero di materia, è necessario ricorrere ad operazioni preliminari al trattamento di evaporazione tra cui, ad esempio:

- ✓ Aggiunta di acidi, basi, ecc. al fine di ridurre la volatilità dei composti molecolari;
- ✓ Separazione di fasi liquide insolubili (ad esempio separazione olio/acqua);
- ✓ separazione chimico – fisica dei metalli pesanti e/o di altri solidi.

La frazione residuale, deve essere ulteriormente trattata e opportunamente smaltita.

Il trattamento offre elevate prestazioni con performance di rimozione dell'ordine del 99%,.

Viene effettuato un monitoraggio dei contaminanti o dei parametri surrogati quali, ad esempio, COD, residuo secco a 105°, pH, conducibilità, ecc.

Nel dettaglio, l'impianto di evaporazione presente all'interno della ECOLIO srl è costituito da un modulo a "triplo effetto sottovuoto a circolazione forzata" con potenzialità nominale pari a 4,0 m³/h in alimentazione ed è in grado di concentrare le acque reflue evaporando condense già ampiamente depurate, prive di sali e con un carico organico ridotto del 90 – 95%.

La particolarità degli evaporatori è rappresentata dalla progressiva tripla concentrazioni del refluo in tre separatori di fase a pressione decrescente con riduzione di temperatura da 108° a 35 – 40 °C. (cfr. T.AIA . 4 - Trattamento termico – Layout e pipeline stato progetto)

Il calore di evaporazione è fornito nel primo stadio del processo dal vapore prodotto mediante l'impiego di una caldaia produzione Crugnola alimentata attualmente in maniera duale: a gas metano o BTZ avente potenza termica pari a 1,028 MW, mentre, nei due stadi successivi, il calore è fornito invece dalla condensazione dell'evaporato nello stadio precedente.

Nell'ambito del presente rinnovo/riesame la Società rinuncia all'utilizzo del BTZ e per l'alimentazione della caldaia utilizzerà soltanto gas metano:



Figura 7 – Cabina di consegna del gas metano

Di conseguenza con la rinuncia all'uso del BTZ alcune componenti impiantistiche inerenti la sezione termica non verranno più utilizzate ed in particolare:

- **Preriscaldamento BTZ**
- **Filtro a maniche**
- **Ventilatore estrazione fumi**
- **Combustore**

Il serbatoio per lo stoccaggio del BTZ (ex D107) verrà convertito a serbatoio per il deposito preliminare dei rifiuti pericolosi (Attività D15 ex All. B alla Parte IV del D. Lgs. N. 152/2006 e ss.mm.ii.) dotato di proprio bacino di contenimento ed alimentato dal *Punto di immissione* a realizzarsi *Pi4* con rete filtrante.

Nel processo di evaporazione si individuano n.2 flussi: il flusso di massa ovvero il rifiuto liquido che deve essere trattato, ed il flusso termico che consente la separazione dal rifiuto liquido di una parte fangosa.

Lo schema adottato dalla ditta contenente l'intreccio dei due flussi su citati, i quali seguono i seguenti percorsi:

- ✓ Flusso di massa (rifiuto liquido): 1°effetto – 3°effetto – 2°effetto;
- ✓ Flusso termico: 1°effetto – 2°effetto – 3°effetto.

Lo schema a flussi incrociati presenta il vantaggio legato all'utilizzazione del calore disponibile nel 2°effetto, maggiore di quello recuperabile nel 3°effetto, per l'evaporazione dell'acqua nell'ultimo stadio depurativo (2°effetto), laddove si potrebbero verificare delle difficoltà per la movimentazione del rifiuto concentrato.

I componenti dell'impianto sono stati concepiti per garantire rendimenti costanti nel tempo e per impedire l'inquinamento delle condense a causa dei fenomeni di trascinamento.

Dall'ultimo effetto massico si estrae automaticamente la frazione residuale, inviata in stoccaggio nel relativo serbatoio, caratterizzato da un volume di acqua variabile, in funzione anche del rifiuto liquido in ingresso all'impianto di evaporazione.

I possibili fenomeni corrosivi sono scongiurati in virtù dell'impiego dell'acciaio AISI 304/316, utilizzato per tutti i componenti a contatto con le fasi liquide ed aeriformi.

La frazione residuale viene inviata in un serbatoio di stoccaggio (D106 o D122) in base alla tipologia di rifiuto trattato (non pericoloso o pericoloso) per il conferimento a ditta terza.

L'evaporato (linea acque) prima di essere inviato al trattamento biologico del modulo A per essere affinato, viene raffreddato con n.1 torre di raffreddamento a circolazione forzata



Figura 8 – Torre di raffreddamento

5. PRINCIPALI FLUSSI IN INGRESSO ED USCITA DAL COMPARTO TERMICO

SEZIONE IMPIANTISTICA	IN	OUT
SERBATOIO D102B da 3500 m3	<ul style="list-style-type: none"> Rifiuti NP da attività D15 quantificati con misuratore Retentato da osmosi 	Alimento serbatoio processo D104B quantificato quantificati nel foglio di lavoro interno
SERBATOIO D104B da 250 m3	<ul style="list-style-type: none"> Rifiuti NP da serbatoio D102B quantificati nel foglio di lavoro interno 	Alimento termico quantificato mediante misuratore
SERBATOIO D104A da 250 m3	<ul style="list-style-type: none"> Rifiuti P da serbatoio D811 quantificati attraverso registro di c/s 	Alimento termico quantificato mediante misuratore
SEZIONE TERMICA	<ul style="list-style-type: none"> Rifiuti da D104A quantificati mediante misuratore Rifiuti da D104B quantificati mediante misuratore Acqua pozzo 	<ul style="list-style-type: none"> •Evaporato conteggiato come differenza tra l'alimento e il concentrato prodotto •Concentrato smaltito all'esterno quantificato mediante FIR e registrato nei fogli di lavoro interni

6. ANALISI E QUANTIFICAZIONE DELLE EMISSIONI

Nel presente capitolo saranno valutate le emissioni riconducibili all'utilizzo della linea impiantistica relativa al trattamento termico, con particolare riferimento alle emissioni in atmosfera.

Per la linea impiantistica relativa al trattamento termico, nell'Autorizzazione Integrata Ambientale rilasciata dalla Regione Puglia con Determinazione Dirigenziale n. 115 del 18 maggio 2011, sono presenti due punti di emissione convogliata: il punto E1 (cfr. Figura 9) in corrispondenza del generatore di vapore *Crugnola* relativo all'emissione in atmosfera dei fumi di combustione della caldaia per la produzione di vapore ed il punto Et relativo alle emissioni gassose dell'impianto termico (cfr. Figura 11).

Le emissioni convogliate, ai sensi dell'art. 268 comma 1 lettera c) e dell'Art. 270 comma 5 del D. Lgs. 152/2006 sono definite *“come emissioni di un effluente gassoso effettuate attraverso uno o più appositi punti”, e nel caso “di emissioni convogliate, o di cui è stato disposto il convogliamento, ciascun impianto, deve avere un solo punto di emissione, fatto salvo quanto previsto nei commi 6 e 7. Salvo quanto diversamente previsto da altre disposizioni del presente titolo, i valori limite di emissione di applicano a ciascun punto di emissione”*.

Relativamente ai valori limite, si riporta lo stralcio nell'AIA 115/2011 di cui al paragrafo 9 “emissioni atmosferiche”:

Sigla di Emissione	Provenienza Reparto - Macchina	Precedente VLE autorizzato mg/Nm ³	Tipo di Sostanza inquinante	Valore limite D.Lgs. 152/06 mg/Nm ³	Valore limite BAT mg/Nm ³	Limite autorizzato con la presente AIA mg/Nm ³	Tipo imp. abbattim.
E1 ⁽¹⁾	(se alimentato a gas metano) Potenza termica nominale ≤ 3MW)		Polveri	Allegati parte Quinta Allegato I parte III par. 1.3 150		150 ⁽¹⁾	
			NO _x	Allegati parte Quinta Allegato I parte III par. 1.3 350		350	
			SO _x	Allegati parte Quinta Allegato I parte III par. 1.3 35		35 ⁽¹⁾	
	(se alimentato a OLIO BTZ Potenza termica nominale < 5MW)	30	Polveri	Allegati parte Quinta Allegato I parte III par. 1.3 150	5 - 20	20	
		250	NO _x	Allegati parte Quinta Allegato I parte III par. 1.2 500		250	Filtro a maniche
		500	SO _x	Allegati parte Quinta Allegato I parte III par. 1.2 1700		500	
Et	Sfati impianto termico		H ₂ S	Allegato alla parte quinta Allegato I parte II TABELLA C classe II 5		5	Carboni attivi
			NH ₃	Allegato alla parte quinta Allegato I parte II TABELLA C classe IV 250		2	
			Sostanze organiche (come COT)		1 - 4	4	

1) I valori limite di emissione per le polveri e ossidi di zolfo, ai sensi del D.Lgs. 152/2006 si ritengono rispettati se viene utilizzato metano;

Considerando che, nell'ambito del presente rinnovo/riesame, la Società intende rinunciare all'uso del BTZ ed alimentare la caldaia con solo gas metano, la suddetta tabella diventa:

Sigla di Emissione		Provenienza Reparto - Macchina	Precedente VLE autorizzato mg/Nm ³	Tipo di Sostanza inquinante	Valore limite D.Lgs. 152/06 mg/Nm ³	Valore limite BAT mg/Nm ³	Limite autorizzato con la presente AIA mg/Nm ³	Tipo imp. abbattim.
E1 ⁽³⁾	CENTRALE TERMICA	(se alimentato a gas metano) Potenza termica nominale ≤ 3MW)		Polveri	Allegati parte Quinta Allegato I parte III par. 1.3 150		150 ⁽¹⁾	
				NO _x	Allegati parte Quinta Allegato I parte III par. 1.3 350		350	
				SO _x	Allegati parte Quinta Allegato I parte III par. 1.3 35		35 ⁽¹⁾	
Et		Sfati impianto termico		H ₂ S	Allegato alla parte quinta Allegato I parte II TABELLA C classe II 5		5	Carboni attivi
				NH ₃	Allegato alla parte quinta Allegato I parte II TABELLA C classe IV 250		2	
				Sostanze organiche (come COT)		1 - 4	4	

1) I valori limite di emissione per le polveri e ossidi di zolfo, ai sensi del D.Lgs. 152/2006 si ritengono rispettati se viene utilizzato metano;

5.4. PUNTO E1: STATO DI FATTO

A servizio dell'impianto di evaporazione facente parte dell'unità di trattamento termico vi è n.1 caldaia e a cui corrisponde n.1 punto di emissione convogliata:

- ✓ E1 - connesso alla centrale termica modello *CRUGNOLA* per la produzione di vapore acqueo;

La caratteristica del punto di emissioni E1 è la seguente:

Sigla punto emissione	Provenienza	Portata media fumi (Nm ³ /h)	Altezza camino (m)	Diametro punto di sbocco (mm)	Durata emissione (giorni/anno – Ore/giorno)
E1	CENTRALE TERMICA (alimentata a gas metano) CRUGNOLA	2.402	11	690	Variabile in funzione dei giorni di attivazione dell'unità di trattamento termico



Figura 9 – Punto emissione E1

5.5. SISTEMA DI ABBATTIMENTO PUNTO Et

Le emissioni gassose derivanti dalla sezione di evaporazione termica, in base alla configurazione impiantistica attuale, vengono aspirate da una pompa del vuoto e, giunte in un separatore di fase, vengono suddivise in due correnti: una che, previa condensazione, è inviata nella sezione biologica del Modulo A per subire un ulteriore affinamento ed i gas non condensati che, dopo aver attraversato un filtro a carboni attivi, vengono immessi in atmosfera dal punto di emissione Et.

La caratteristica del punto di emissioni Et è la seguente:

Sigla punto emissione	Provenienza	Portata sfiato (m ³ /h)	Altezza camino (m)	Diametro punto di sbocco (mm)	Sistema abbattimento di	Durata emissione (giorni/anno Ore/giorno) –
Et	Unità di trattamento termico	30*	9	48	Carboni attivi	Variabile in funzione dei giorni di attivazione dell'unità di trattamento termico

*tale valore di portata è quello attuale rispetto alle pompe del vuoto ad anello liquido.



Figura 10 – Barilotto carboni attivi

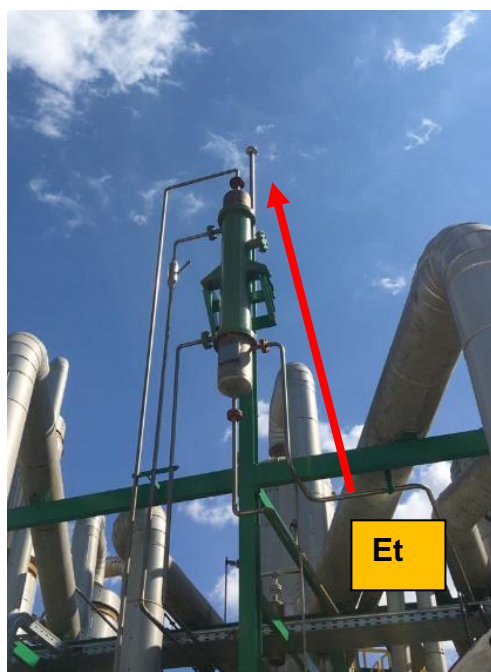


Figura 11 – Punto emissione Et

7. ABBATTIMENTO EMISSIONI IN ATMOSFERA: STATO DI PROGETTO

Le correnti gassose che si generano nel processo termico sono di due tipi: i gas condensabili ovvero l'evaporato che una volta condensato viene affinato nella sezione biologica ed i gas non condensabili (incondensabili) che prima di essere immessi nell'atmosfera attraversano un filtro a carboni attivi per l'abbattimento dei COV.

La Società, al fine di meglio ingegnerizzare il sistema esistente di abbattimento delle emissioni incondensabili originate dalla sezione termica in virtù delle conclusioni sulle BAT di cui alla Decisione di Esecuzione (UE) 2018/1147 della Commissione del 10.08.2018, che stabilisce le conclusioni sulle migliori tecniche disponibili (BAT) per il trattamento dei rifiuti, ai sensi della direttiva 2010/75/UE del Parlamento Europeo e del Consiglio, **con il presente rinnovo/riesame propone una soluzione realizzabile nell'immediato e relativa all'ottimizzazione ed al potenziamento dell'impianto a carboni attivi esistente, la cui tecnologia – come è noto - rappresenta il “classico e consolidato” processo di abbattimento dei COV dalle correnti gassose industriali;**

6.1. Ottimizzazione e potenziamento impianto a carbone attivo

Il filtro a carboni attivo esistente fu progettato per garantire un adeguato grado di adsorbimento – cautelativamente - anche per correnti che potrebbero essere caratterizzate, seppur sporadicamente, da elevate concentrazioni di COT; di conseguenza -per garantire i limiti autorizzativi imposti - fu dimensionato per esercire a *basse velocità di attraversamento* ed *alti tempi di contatto*,

Con la modifica proposta nel presente rinnovo/riesame, s'intende migliorare e potenziare ulteriormente il sistema di abbattimento esistente, ed al contempo aumentare i tempi di sostituzione dei filtri; per tal motivo l'intero sistema di abbattimento – sebbene rimane basato sul medesimo processo (adsorbimento a carbone attivi) è stato completamente rivisto, così come descritto di seguito.

**DIAGRAMMA 3.2 – TRATTAMENTO TERMICO
STATO DI PROGETTO**

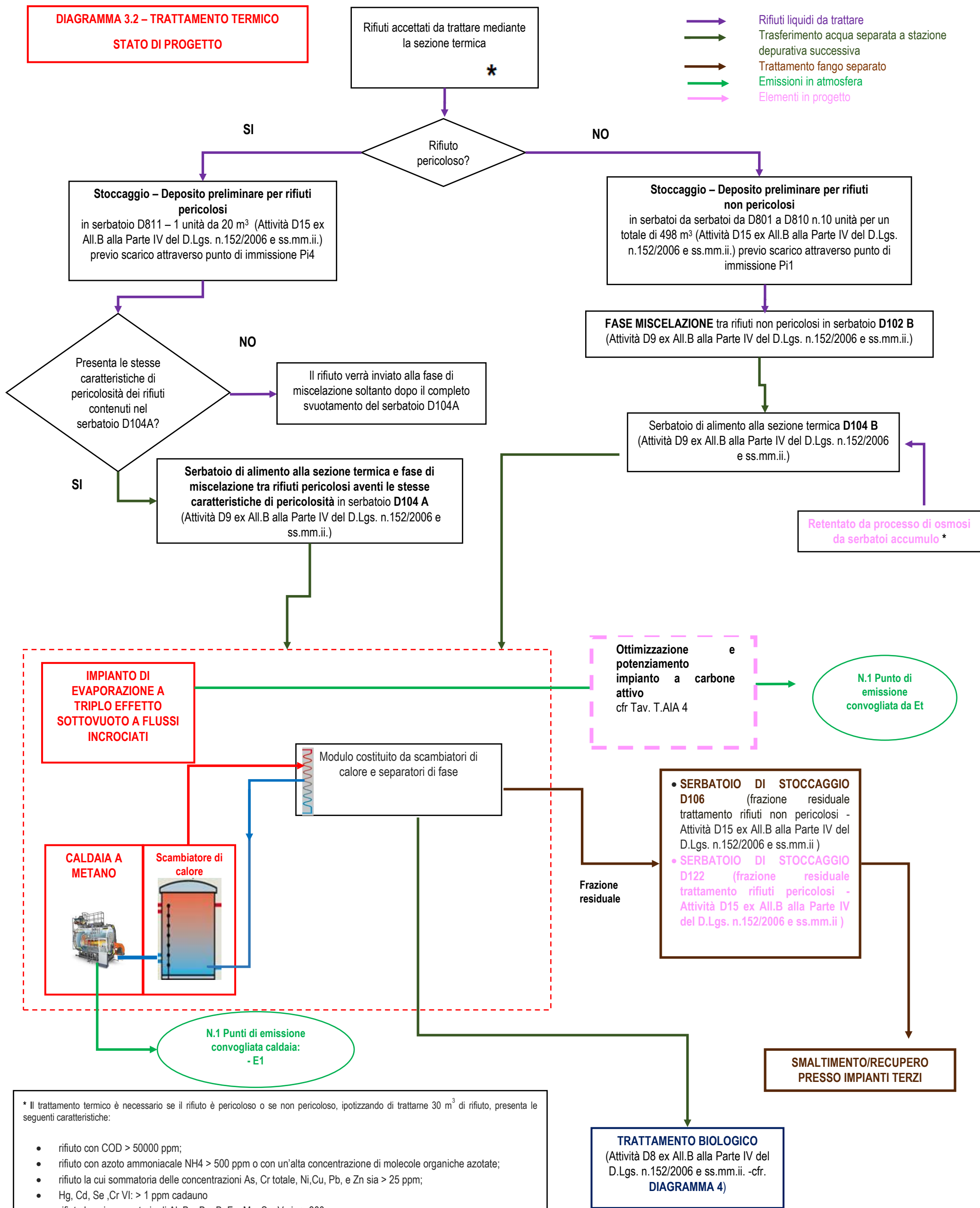


Figura 12 - Schema a blocchi trattamento termico – stato progetto -

La progettazione è stata effettuata rispetto ai seguenti valori limite al punto ET:

H ₂ S	1 mg/Nm ³
NH ₃	2 mg/Nm ³
SOV	4 mg/Nm ³
Emissioni odorigene	2000 UO _E /m ³

il dimensionamento è stato eseguito ipotizzando (molto cautelativamente) uno stream gassoso costituito da gas “incondensabili”, riferiti alle condizioni standard (T = 25°C e P = 1 atm) aventi le caratteristiche di seguito elencate:

Parametro	Valore di progetto
Portata d’aria, Nmc/h	30*
Temperatura, °C	30
Umidità, % [ipotesi saturazione a 30°C]	31,65 g/mc
COT, mg/Nmc	25.000
Idrogeno solforato, mg/Nmc	100
Ammoniaca, mg/Nmc	10.000

*tale valore di portata è quello attuale rispetto alle pompe del vuoto ad anello liquido.

Tabella 1 -Corrente gassosa da trattare

Partendo da tale stream gassoso, sono stati progettati i seguenti elementi:

- 1 assorbitore ad umido delle componenti inorganiche acide (nella fattispecie H₂S) di seguito denominato **Unità 1/A**;
- 1 assorbitore ad umido delle componenti basiche (nella fattispecie NH₃) di seguito denominato **Unità 1/B**;
- 1 filtro di finissaggio ovvero di filtro di guardia a garanzia dei limiti imposti in aggiunta a quello esistente utilizzato come “sgrossatore delle componenti inquinanti”, per l’abbattimento dei COV e odori. La batteria dei filtri a carboni inoltre, è stata raddoppiata in modo da lavorare alternativamente evitando di operare in condizioni anomale e/o di emergenza.

Di seguito lo schema di processo inerente il potenziamento del sistema a carboni attivi

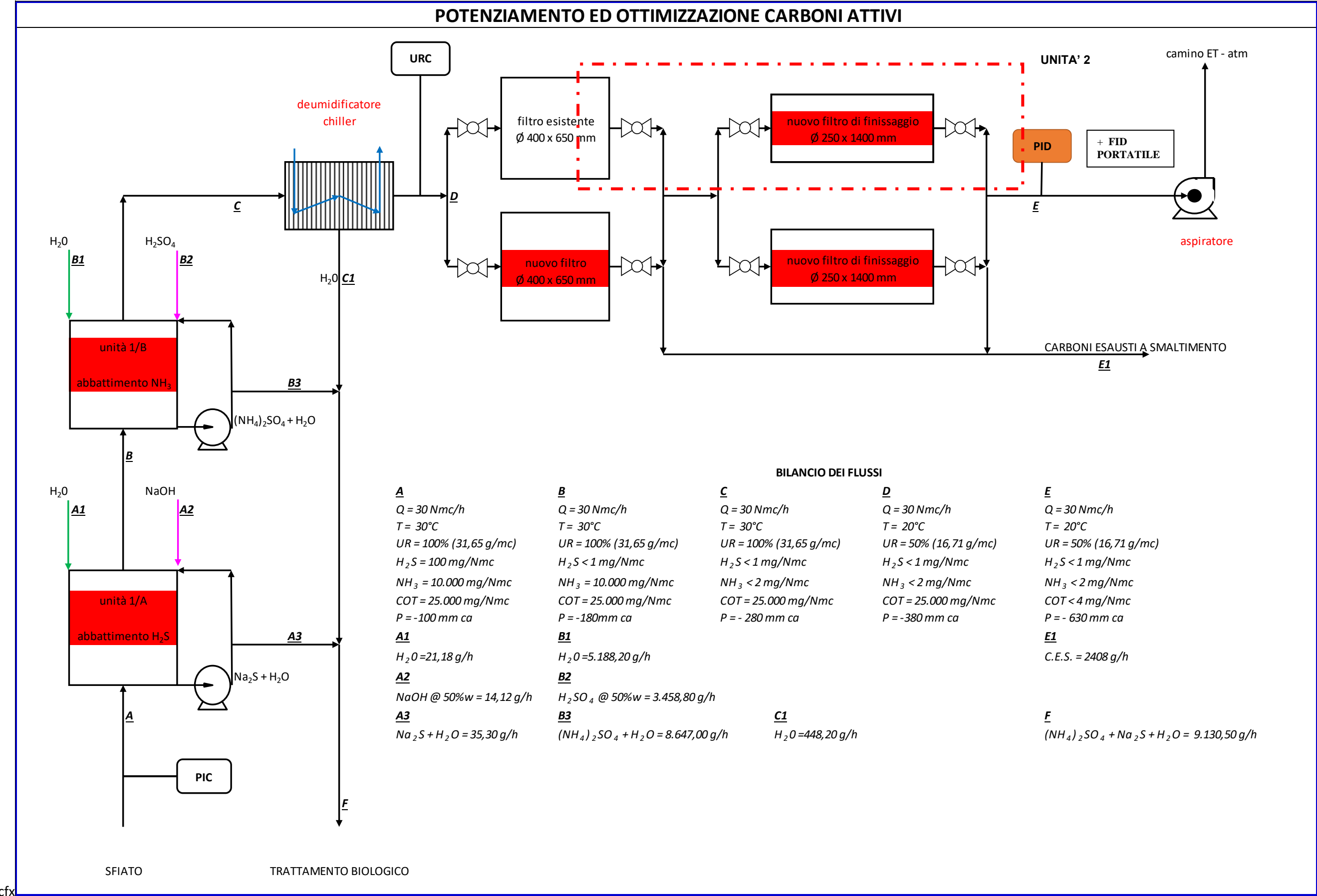


Figura 13 – Sistema potenziamento ed ottimizzazione carboni attivi

Come suddetto, il trattamento prevede la rimozione preventiva a mezzo assorbimento ad umido delle componenti inorganiche acide (nella fattispecie H_2S) nell' **Unità 1/A** e basiche (NH_3) nell' **Unità 1/B**.

Successivamente, e prima di subire il processo di adsorbimento, la corrente - a mezzo di una piccola **unità di raffreddamento** (*chiller*) da circa 1,5 KWh - è parzialmente raffreddata e deumidificata (umidità < 50%), al fine di permettere al successivo processo a carboni attivi di esercire costantemente alla massima efficienza (come è noto, umidità maggiori del 70% potrebbero ridurre l'efficienza di abbattimento).

Infine, la corrente gassosa è inviata a due stadi di adsorbimento a carbone attivo posti in serie (**Unità 2**):

- ✓ il primo stadio è quello esistente;
- ✓ il secondo - di nuova realizzazione – è opportunamente dimensionato al fine di garantire un'elevata efficienza complessiva di abbattimento ed al contempo una minore frequenza di sostituzione complessiva dei carboni esausti della linea (cfr. **Fig 12_Sistema potenziamento ed ottimizzazione carboni attivi**).

In aggiunta, per gestire eventuali guasti di linea, anomalie e garantire il controllo delle emissioni in fase di sostituzione dei carboni attivi esausti, l'intera Unità 2 sarà "raddoppiata";

in tal modo le due unità parallele- e speculari dal punto di vista del dimensionamento – opererebbero alternativamente (in esercizio l'una, in sostituzione carboni/stand-by l'altra, e viceversa) scongiurando di operare in condizioni anomale e/o di emergenza.

È prevista inoltre l'installazione di nuove pompe da vuoto a "bagno d'olio" e funzionamento "a secco", in parallelo a quelle già esistenti, al fine di consentire una drastica riduzione dei consumi di acqua industriale e un esercizio dell'impianto con un grado di vuoto più spinto e costante.

A garanzia del buon funzionamento della sezione di adsorbimento a carboni attivi, è stata prevista:

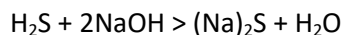
1. l'installazione di un *termoigrometro* che monitorerà in continuo il tasso di umidità dello stream a monte dei carboni attivi (cfr. Appendice1)
2. l'installazione di un *PID* che analizzerà in continuo la concentrazione di COT a valle dei carboni attivi e quindi prima dell'immissione in atmosfera (cfr. Appendice2).

Entrambi gli analizzatori, avranno il compito di allarmare il personale preposto alla conduzione dell'impianto secondo valori di set point preimpostati e qualora si verificasse uno sfioramento dei limiti, alert preimpostati, commutano automaticamente il flusso sull'altra unità già rigenerata.

3. l'utilizzo di un FID portatile , ad ulteriore garanzia, per verificare giornalmente la concentrazione di COT al punto Et

6.1.1. Unità 1/A – Abbattimento H₂S

Per l'abbattimento dell'acido solfidrico si è optato per il processo - oramai consolidato- basato sull'*assorbimento chimico irreversibile*, a mezzo di una colonna di riempimento dalla cui sommità è fatta defluire una soluzione acquosa di idrossido di sodio 5-20% ⁽¹⁾ e dal cui fondo è insufflata la corrente da desolforare. La reazione di abbattimento è la seguente:



⁽¹⁾ Il titolo ideale di alimentazione – compreso comunque tra il 5 e 20% - della soluzione di NaOH potrà essere stabilito solo durante l'esercizio dell'impianto. Difatti il consumo di reagente è correlato al flusso di inquinante da rimuovere (nella fattispecie H₂S). Qualora tale flusso fosse inferiore alle attese per lungo tempo, per effetto di un eventuale *stripping* dell'acqua da parte della corrente gassosa, si rischierebbe di concentrare eccessivamente la soluzione in NaOH circolante in colonna.

La corrente liquida che fuoriesce dal fondo della colonna è raccolta in un barilotto dedicato (*buffer*) e fatta ricircolare in testa alla colonna; periodicamente un'aliquota è spurgata ed inviata all'impianto di depurazione; contestualmente è prevista nel *buffer* un reintegro (*make-up*) di soluzione sodica *fresh*; il medesimo reintegro è previsto automaticamente qualora il livello del liquido nel *buffer* scenda oltre un livello minimo.

Come materiale di riempimento della colonna si è deciso di utilizzare *Pall ring – 5/8 inch*, caratterizzato da un *Packing factor* pari a 315 m⁻¹.

Dai calcoli di dimensionamento idraulico (cfr. [Appendice3](#)), emerge che, per la portata oggetto del trattamento (30 Nmc/h), una colonna di 150 mm di diametro è sufficiente a soddisfare le portate ipotizzate; sulla base della disponibilità commerciale delle colonne, o per ragioni di particolarità costruttive (p.e. inserimento in testa colonna del demister) il diametro potrà essere maggiorato fino a 200 mm, in modo da assorbire anche portate superiori generate dalla futura sostituzione delle pompe del vuoto (dalle attuali ad "anello liquido" a quelle a "secco").

La portata di liquido sodico circolante sarà pari a 500-1.000 lt/h (portata regolabile in fase di esercizio e/o in base all'*Hold-up* reale del sistema); il dimensionamento è stato previsto per 1.000 lt/h in modo da prevedere una percentuale di flooding pari al 64% (flooding alle condizioni ideali di esercizio delle colonne di assorbimento = 50-85%) ed al contempo prevedere flessibilità sulla portata di liquido. Per le perdite di carico iniziali - da progetto - si è optato per i 15 mm c.a suggeriti dalla letteratura.

La velocità superficiale del gas è calcolata quindi a circa 0.5 m/s.

Per il calcolo dell'altezza si è considerato che la reazione chimica [in fase liquida] tra la soluzione basica NaOH e la corrente gassosa acida contenente H₂S è "*veloce ed irreversibile*" e pertanto la resistenza all'assorbimento gas-liquido si può ritenere associabile alla sola fase gassosa (cfr *Parry Chemical Engineers Handbook - 7th Edition - Sec. 5 – Mass Transfer – Influence of Chemical Reactions on k_G and k_L*).

In tali condizioni:

$$H_{OG} = HEPT$$

dove:

H_{OG} = altezza di un'unità totale di trasferimento di massa per lo stato gassoso

HEPT = Altezza equivalente di uno stadio teorico complessivo di abbattimento

Per la stima dell'HEPT si è utilizzata la correlazione di *Norton*, applicabile unicamente al materiale di riempimento prescelto (Pall ring – 5/8 inch):

$$\ln HEPT = n - 0.187 \times \ln \Theta + 0.213 \times \ln (\mu)$$

dove:

$n = 0.8784$ (parametro caratteristico del riempimento Pall ring – 5/8 inch)

$\Theta = 74$ dyne/cm (tensione superficiale della soluzione liquida)

$\mu = 1.3$ cp (viscosità della soluzione)

Per la stima della viscosità del liquido circolante nella colonna (parametro impattante nel calcolo dell'HEPT) si è utilizzata la seguente correlazione, applicabile a soluzioni inorganiche per un contenuto massimo del soluto pari al 30%:

$$\mu_L = (1 + (X_s/0.3)) \mu_{water}$$

dove:

μ_L = viscosità attesa della soluzione salina

X_s = % in peso del soluto in soluzione

μ_{water} = viscosità dell'acqua alla medesima temperatura

Ipotizzando di utilizzare un rientegro (make-up) di soluzione sodica al 20% ed un contenuto medio della stessa nella corrente liquida circolante a regime pari al 10%, dalla stechiometria della reazione si calcola che X_s sarà pari a 19,75%. Applicando la correlazione sopra, si calcola una viscosità del liquido pari a 1.66 centipoise.

Si calcola quindi una HEPT pari a 1.137 feet = 0.35 m.

NOTA

Al medesimo risultato di calcolo della HEPT si giunge se si applicasse la correlazione presente in letteratura (Rule of thumb) in riferimento al materiale di riempimento Pall ring:

$$HEPT \text{ (feet)} = 1.5 \times D_p \text{ (inch)}$$

essendo D_p il diametro nominale del riempimento.

Nel caso in esame infatti:

$$HEPT \text{ (feet)} = 1.5 \times 1 \text{ inch} \times 5/8 = 1.125 \text{ feet} = 0.34 \text{ m}$$

Per il calcolo del numero di stadi occorrenti per l'abbattimento (n° HEPT), occorre considerare che il contenuto di H_2S deve essere abbattuto da 100 mg/Nmc a 1 mg/Nmc (limite al camino), richiedendo di conseguenza **un'efficienza complessiva di abbattimento pari al 99%**:

$$n^\circ \text{ HEPT} = \ln(y_2/y_1)$$

Dove y_2 e y_1 sono rispettivamente le concentrazioni di ingresso ed uscita colonna dell'inquinante. Nel nostro caso quindi:

$$N^\circ \text{ HEPT} = \ln(100/1) = 4.6$$

Pertanto l'altezza utile della colonna sarà pari a $HEPT \text{ (m)} \times n^\circ \text{ HEPT} = 0.35 \text{ m} \times 4.6 = 1.6 \text{ m}$, che per sicurezza si maggiore a 2.0 m. **L'altezza utile della colonna sarà quindi pari a 2.0 m.**

NOTA

Per il calcolo dell'altezza della colonna, sulla base dell'efficienza richiesta, ai fini semplificativi, ossia senza entrare nel dettaglio della cinetica della reazioni chimiche di abbattimento, si è fatto riferimento alla formula utilizzata per processi di assorbimento fisico (altezza colonna = $n^\circ \text{ HEPT} \times HEPT \text{ (m)}$). In realtà, come già detto, essendo in questo caso il processo di assorbimento "chimico", "veloce" ed "irreversibile", tale assunzione semplificativa, porta ad un dimensionamento cautelativo in termini di efficienza di abbattimento. Pertanto l'efficienza reale è attesa superiore a quanto calcolato.

Il **make up** di soluzione sodica al 20% in NaOH sarà pari a 0.85 kg/die, come di seguito calcolato:

<i>Q vol. gas</i>	<i>30</i>	<i>mc/h</i>
<i>[H₂S]</i>	<i>100</i>	<i>mg/mc</i>
<i>PM H₂S</i>	<i>34</i>	<i>g/mole</i>
<i>Q mol. H₂S</i>	<i>0,09</i>	<i>moli/h</i>
<i>Stech. Abbattimento</i>	<i>2</i>	<i>moli NaOH/moli H₂S</i>
<i>Q mol. NaOH</i>	<i>0,18</i>	<i>moli/h</i>
<i>PM NaOH</i>	<i>40</i>	<i>g/mole</i>
<i>Q massico NaOH</i>	<i>7,1</i>	<i>g/h NaOH</i>
<i>% sol. NaOH [fresh]</i>	<i>20%</i>	<i>% sol. NaOH</i>
<i>Q massico sol. NaOH</i>	<i>35,3</i>	<i>g/h sol.</i>
<i>Q massico sol. NaOH</i>	<i>0,85</i>	<i>kg/die</i>

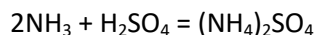
Tabella 2 - Make-up [sol. NaOH]

La corrente liquida spurgata periodicamente all'impianto depurativo invece è volumetricamente inferiore/ uguale alla corrente di make-up (< 1 lt/die) e non apporta contenuto organico.

6.1.2. Unità 1/B – Abbattimento NH₃

Conformemente al medesimo principio dell'unità precedente, essendo l'ammoniaca un composto basico debole [presente allo stato gassoso], la si metterà in contatto in controcorrente con una corrente liquida acquosa contenente un composto acido (nella fattispecie acido solforico 5-10%).

La reazione di abbattimento attesa è la seguente:



Il dimensionamento idraulico (sezione della colonna) – essendo basato esclusivamente sui parametri fluidodinamici - è speculare rispetto a quello eseguito per la colonna di abbattimento dell'H₂S.

Pertanto anche l'unità scrubber 1/B, avrà anch'essa una sezione di 200 mm.

Anche per la reazione di cui innanzi vale l'assunzione di *“veloce ed irreversibile”* e le semplificazioni di calcolo già esplicitate precedentemente.

Per il calcolo dell'altezza della colonna invece si deve tener conto che l'abbattimento del NH₃ dovrà essere tale da ridurre la concentrazione da 10.000 mg/Nmc a 2 mg/Nmc, che rappresenta il limite all'emissione (**efficienza = 99.98%**).

Per tale scenario si calcola:

$$N^\circ \text{ HEPT} = \ln (10.000/2) = 8.5$$

e un'altezza complessiva utile pari a 2.95 m, maggiorata a 3.0 m

Il **make-up** di sol. H₂SO₄ (10%) è calcolata a 208 kg/die.

Q vol. gas	30	mc/h
[NH ₃]	10.000	mg/mc
PM NH ₃	17	g/mole
Q mol. NH ₃	17,6	moli/h
Stech. Abbattimento	0,5	moli H ₂ SO ₄ /moli NH ₃
Q mol. H ₂ SO ₄	8,8	moli/h
PM H ₂ SO ₄	98	g/mole
Q massico H ₂ SO ₄	865	g/h NaOH
% sol. H ₂ SO ₄ [fresh]	10%	% sol. H ₂ SO ₄
Q massico sol. H ₂ SO ₄	8647	g/h sol.
Q massico sol. H ₂ SO ₄	208	kg/die

Tabella 3 - Make-up [sol. H₂SO₄]

Anche per tale unità, la corrente liquida spurgata periodicamente all'impianto depurativo sarà volumetricamente paragonabile alla corrente di make-up (≈200 lt/die) e non apporta contenuto organico.

6.1.3. Unità 2 - Dimensionamento dell'unità di adsorbimento a carboni attivi

A valle dei trattamenti descritti, oltre al filtro a carbone attivo esistente, è prevista l'ottimizzazione del processo mediante l'installazione di un *ulteriore filtro di adsorbimento* rifinitore/di guardia a garanzia dei limiti imposti (cfr. Appendice 4).

Per semplicità si riassumono le caratteristiche del flusso da trattare – come descritto sopra – già parzialmente deumidificato e raffreddato grazie al trattamento ad umido subito nelle Unità 1/A ed 1/B ed al chiller posto a monte,

Parametro	Valore
Portata d'aria, Nmc/h <i>[portata cautelativamente maggiorata. Si trascura il volume delle sostanze rimosse a mezzo dei trattamenti precedenti]</i>	30
Temperatura, °C	20
Pressione, atm (a)	atm
Umidità, %	50 %
COT, mg/Nmc <i>[come aromatici BTX]</i>	25.000

Tabella 4 - Corrente gassosa deumidificata in uscita dalle Unità 1/B

6.1.3.1. VERIFICA DEL FILTRO ESISTENTE (FILTRO 1)

Per il dimensionamento del filtro a carbone attivo esistente, cautelativamente, per garantire un adeguato grado di adsorbimento anche per correnti che potrebbero essere caratterizzate, seppur puntualmente, da elevate concentrazioni di COT (come nella fattispecie), si sono imposti– come dati progettuali - ***basse velocità di attraversamento ed alti tempi di contatto.***

Nel caso in esame:

V_f = velocità di attraversamento = 0,065 m/s

T_c = tempo di contatto di = 10 s.

Dalla scelta di questi due parametri di progetto, in base alla portata volumetrica della corrente, fu dimensionata la sezione del filtro:

$S_f = \text{Portata gas (Nmc/s)} / V_f \text{ (m/s)} = (30/3600) / 0,065 = 0,0126 \text{ mq,}$
equivalente ad un **diametro di 400 mm.**

In base al tempo di contatto imposto, calcolato il volume di riempimento:

$V_r = T_c \text{ (s)} \times \text{Portata gas (Nmc/s)} = 10 \times (30/3600) = 0,082 \text{ mc}$
pari a **82 lt di riempimento.**

Essendo la densità media apparente dei carboni attivi pari a 0,520 kg/mc, si calcolano **42,5 kg di carbone attivo** per il Filtro 1, mentre l'altezza utile del riempimento è pari a:

$$h = V_r \text{ (mc)} / S_f \text{ (mq)} = 0,082 / 0,126 = h = \mathbf{0,650 \text{ m.}}$$

La capacità di adsorbimento degli inquinanti previsti, si calcola considerando condizioni alla massima concentrazione di progetto (almeno per l'unità esistente):

Concentrazione	mg/Nmc
Benzene IN	9.200
Toluene IN	9.200
xilene IN	9.200
TOTALE	27.600

Introducendo i seguenti coefficienti caratteristici di ciascuno inquinante che esprimono il rapporto in peso tra il carbonio C presente nella molecola ed il peso della molecola stessa (PM_C / PM_{inq}), dove PM esprime il peso molecolare:

Coefficiente COT per benzene come C 0,923077

Coefficiente COT per toluene come C 0,913043

Coefficiente COT per xilene come C 0,905660

La concentrazione totale come COT IN sarà data dalla seguente formula:

COT = mg/Nmc benzene x coeff benzene + mg/Nmc toluene x coeff toluene + mg/Nmc xylene x coeff xylene

In termini numerici:

COT = 25.224 mg/Nmc mentre il relativo flusso, per la portata in oggetto, sarà pari a **0.76 kg/h di COT** in ingresso filtro.

Riassumendo:

Concentrazione totale come COV IN	mg/Nmc	27.600
Portata ponderale COV IN	kg/h	0,83
Portata ponderale benzene IN	gr/h	276
Portata ponderale toluene IN	gr/h	276
Portata ponderale xilene	gr/h	276

Le **portate molari** invece dei singoli composti della miscela gassosa saranno pari a:

- ✓ moli benzene (gr/h benzene) / PM benzene = $276/78 = 3,5$ mol/h
- ✓ moli toluene (gr/h toluene) / PM toluene = $276/92 = 3,0$ mol/h
- ✓ moli xilene (gr/h xilene) / PM xilene = $276/106 = 2,6$ mol/h
- ✓ moli aria $30 \text{ Nmch} \cdot (1/273^\circ \text{ K}) / (0,082 \cdot 1000) = 1.340$ mol/h

moli totali = sommatoria delle parziali moli della miscela = **1.349 mol/h**

E da qui si calcolano le pressioni parziali dei componenti nella corrente, stimando una pressione totale del sistema max di 1.1 atm (ipotesi cautelativa):

$$P_{\text{benzene}} = (3,5/1.349) \cdot 1.1 = 0,0029 \text{ atm}$$

$$P_{\text{toluene}} = (3,0/1.349) \cdot 1.1 = 0,0024 \text{ atm}$$

$$P_{\text{xilene}} = (2.6/1.349) \cdot 1.1 = 0,0021 \text{ atm}$$

$$P_{\text{aria}} = (2.6/1.349) \cdot 1.1 = 1,0925 \text{ atm}$$

Dalle tabelle termodinamiche si ricavano le tensioni di vapore delle sostanze:

$$P^{\circ}_{\text{benzene}} (20^\circ \text{C}) = 0,099679 \text{ atm}$$

$$P^{\circ}_{\text{toluene}} (20^\circ \text{C}) = 0,028621 \text{ atm (a)}$$

$$P^{\circ}_{\text{xilene}} (20^\circ \text{C}) = 0,008882 \text{ atm}$$

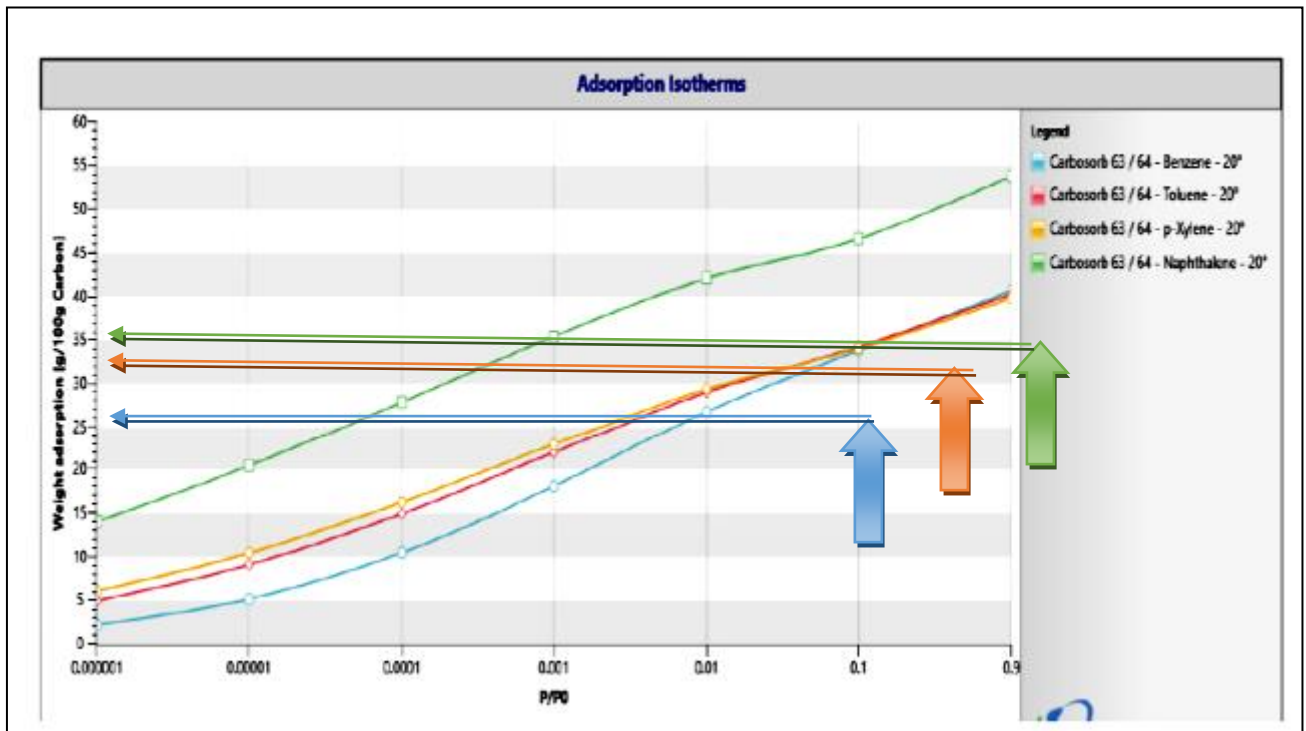
Ed è quindi possibile calcolare i rapporti P_p / P° (pressione parziale / tensione di vapore a 20°C):

$$\text{per benzene: } P_p/P^{\circ} = (0,0029/0,099679) = 0,029$$

$$\text{per toluene: } P_p/P^{\circ} = (0,0024/0,028621) = 0,085$$

$$\text{per xilene: } P_p/P^{\circ} = (0,0021/0,008882) = 0,239$$

Utilizzando le isoterme specifiche di adsorbimento dei carboni attivi selezionati entrando nell'asse delle ascisse con i valori ottenuti P_p/P° di ogni singolo inquinante si intercetta sulla curva – specifica per ciascun inquinante - la quantità di COT adsorbibili per 1 kg di carbone attivo:



Ossia:

per Benzene: 30 gr/100 gr di CA = 30%

per Toluene: 36 gr/100 gr di CA = 36%

per Xilene: 37 gr/100 gr di CA = 37%

La cui media, ai fini del dimensionamento è pari al **34%**.

Ossia:

per Benzene: 30 gr/100 gr di CA = 30%

per Toluene: 36 gr/100 gr di CA = 36%

per Xilene: 37 gr/100 gr di CA = 37%

La cui media, ai fini del dimensionamento è pari al **34%**.

La quantità massima adsorbita dal filtro esistente (Filtro 1) sarà pari quindi a:

Massa carbone attivo x 34% = 42.5 kg x 34% = 14.45 kg COT.

6.1.3.2. DIMENSIONAMENTO DEL FILTRO DI FINISSAGGIO (FILTRO 2)

Di seguito si riportano criteri e calcoli di dimensionamento del “nuovo” filtro a carbone attivo: per questo filtro, poiché è previsto che esso operi mediamente con concentrazioni in ingresso di COT più contenute rispetto al Filtro 1, si procede con un dimensionamento ordinario, relativamente alla velocità di filtrazione ed al tempo di contatto:

FILTRO 2

Q media sfiato	30	Nmc/h	
Q media sfiato	32,2	mc/h	[20°C]
Q max sfiato	35	Nmc/h	
Q max sfiato	37,6	mc/h	[20°C]
Tempo di contatto	3,5	s	[parametro di progetto > 2 s]
Volume carbone attivo	0,037	mc	
Volume carbone attivo	37	lt	
Velocità lineare di filtrazione	0,4	m/s	[parametro di progetto max 0.4]
Sezione	0,03	mq	
Diametro	0,18	m	
Altezza di calcolo	1,40	m	
Diametro scelto	0,25	m	
Sezione scelta	0,049	mq	
Volume reale	0,069	mc	
Volume reale	69	lt	
Densità carbone attivo	520	kg/mc	
Massa reale	36	kg	
Vel. Lineare a Q max	0,21	m/s	[verifica OK]
Vel. Lineare a Q media	0,18	m/s	[verifica OK]
Tempo contatto Q max	6,6	s	[verifica OK]
Tempo contatto Q media	7,7	s	[verifica OK]

Tabella 5 – Parametri progetto FILTRO 2

Vel gas ingresso	10	m/s	[parametro di progetto 7-12 m/s]
Sezione ingresso Q max	0,0010	mq	
Diametro ingresso Q max	36,5	mm	
Sezione ingresso Q media	0,0009	mq	
Diametro ingresso Q media	33,8	mm	
Diametro ingresso scelto	40	mm	
Vel. Eff. gas in (a Q max)	8,3	m/s	[verifica OK]
Vel. Eff. gas in (a Q media)	7,1	m/s	[verifica OK]

Tabella 6 - Dimensionamento sezione di ingresso/uscita

La saturazione del filtro 2 – fissando un valore limite all’emissione pari a 4 mg/Nmc espresso come COT, che non dovrà essere mai superato - si raggiunge quando alla sezione finale del filtro 2, tale concentrazione (4 mg/Nmc, da esprimere come rapporto P_p/P°) è in equilibrio con la massa adsorbita.

Concentrazione totale come COT IN	mg/Nmc	4,0
Portata ponderale COT IN	kg/h	0,0002
Portata ponderale benzene IN	gr/h	0,055
Portata ponderale toluene IN	gr/h	0,055
Portata ponderale xilene IN	gr/h	0,055
Portata ponderale COT OUT	gr/h	0,15
Portata molare benzene	mol/h	0,0007
Portata molare toluene	mol/h	0,0006
Portata molare xilene	mol/h	0,0005
Portata molare aria	mol/h	1.340
Portata molare totale	mol/h	1.340
Pressione parziale benzene	atm (a)	0,0000006
Pressione parziale toluene	atm (a)	0,0000005
Pressione parziale xilene	atm (a)	0,0000004
Pressione parziale aria	atm (a)	1,1
Pressione totale	atm (a)	1,1
Pressione di saturazione a 20 °C benzene	atm (a)	0,099679
Pressione di saturazione a 20 °C toluene	atm (a)	0,028621
Pressione di saturazione a 20 °C xilene	atm (a)	0,008882
Pressione parziale/pressione saturazione benzene	P/PO	0,0000058
Pressione parziale/pressione saturazione toluene	P/PO	0,0000171
Pressione parziale/pressione saturazione xilene	P/PO	0,0000479

Dall'utilizzo della curva di equilibrio di cui innanzi, si evince che, alla sezione finale del filtro alle condizioni di saturazione, la capacità di adsorbimento, per i 3 inquinanti, saranno pari a:

Capacità di assorbimento media benzene	%	4
Capacità di assorbimento media toluene	%	10
Capacità di assorbimento media xilene	%	13

Ai fini del dimensionamento si può quindi considerare che alla sezione finale del filtro, **la media dei COT adsorbiti sia pari al 9% della massa di carbone attivo.**

In conclusione, l'intera Unità 2 (Filtro 1 + Filtro 2) risulterà satura quando:

1. **Il filtro 1 (filtro esistente) sarà saturo** ossia quando tutta la massa di carbone attivo in esso contenuto sarà in equilibrio alla concentrazione d'ingresso (kg COT / kg CA = 34%, calcolato sopra).
2. **Il filtro 2 (nuovo filtro) sarà saturo quando:**
 - la parte iniziale [stimata 0.80 m su un'altezza totale di 1.40 m] – sarà satura; anch'essa quando in equilibrio con la concentrazione d'ingresso (kg COT / kg CA = 34%)

- la parte finale [stimata 0.60 m su un'altezza totale di 1.40 m] - con un profilo logaritmico decrescente – avrà adsorbito dal 34% al 9% (media 21.5%)

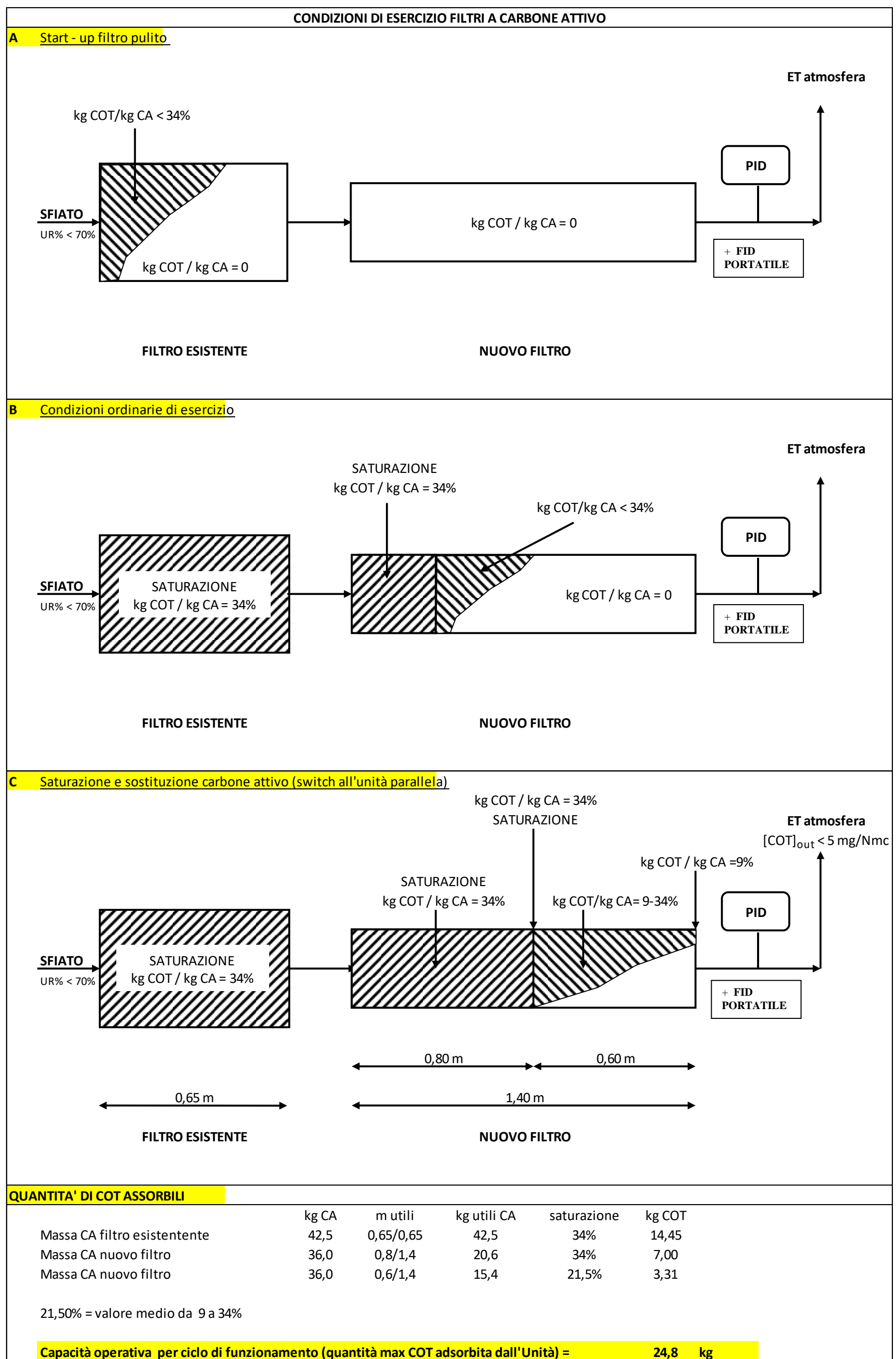


Figura 14 – Condizioni di esercizio filtro a carboni attivi

NOTA

La frazione del letto soggetta a gradiente (0.60 m/1.40 m) è stimabile dai “*Rules of thumb*” presenti in letteratura; si aggiunge che, nello specifico caso, tale stima ha carattere puramente indicativo, perché la saturazione del filtro (e di conseguenza lo switch/sostituzione dello stesso) sarà imposta dal misuratore in continuo di COT previsto all’uscita del filtro.

La quantità massima di COT adsorbiti alla saturazione dell’intera Unità 2, è quindi calcolata:

QUANTITA' COT ADSORBITI [FILTRO 1 + FILTRO 2] – A SATURAZIONE (COT a camino = 5 mg/Nmc)					
	kg CA	H (m)	kg utili CA	saturazione	kg COT
Massa CA filtro esistente – Filtro 1	42,5	0,65/0,65	42,5	34%	14,45
Massa CA nuovo filtro – Filtro 2	36,0	0,8/1,4	20,6	34%	7,00
Massa CA nuovo filtro – Filtro 2	36,0	0,6/1,4	15,4	21,5%	3,31

Per un totale di **24.8 kg COT adsorbiti** (quando saturi il Filtro 1 e Filtro 2, ossia quando satura l’intera Unità 2), che per un flusso massimo di COT da rimuovere pari a 0.76 kg/h permette di stimare il tempo di ciclo (switch) che sarà pari a **32.6 h**. In realtà si presume una frequenza minore di sostituzione, poiché i dati di progetto sopra sono considerati molto cautelativi.

Le perdite di carico attese per il circuito aeraulico sono le seguenti:

80 mm ca per UNITA' 1/A con demister

100 mm ca per UNITA' 1/B con demister

100 mm ca per UNITA' deumidificante

250 mm ca sezione a carboni attivi Filtro 1 + filtro 2

TOTALE perdita di carico ≈ 550 mm ca pari a 0.05 atm.

Per evitare cadute di pressione alla pompa del vuoto, poiché è costretta a vincere la contropressione sulla mandata a causa delle perdite di carico dell’impianto, è necessario installare un aspiratore di coda all’impianto avente le seguenti caratteristiche:

$Q = 50 \text{ Nmc/h}$

$H = 0,1 \text{ atm}$

$P = 0,5 \text{ kWh}$

Regolazione della pressione in aspirazione con inverter gestito da trasmettitore di pressione posto a valle della pompa del vuoto che consente una depressione residua su tutto l’impianto di 100 mm ca.

Appendice 1 – Scheda tecnica termoigrometro



Misuratore di Temperatura e Umidità per Industria Serie HTX82

La serie HTX82 fornisce agli utenti la miglior responsabilità e stabilità di controllo del clima ambientale industriale.

Mantiene e mostra capacità di stabilità a lungo termine sia in tubi dove l'unità di controllo del clima viene influenzato da un flusso d'aria forte sia in presenza di luoghi inquinati da sostanze chimiche.

Caratteristiche:

- Nessun errore magnetotermico del circuito grazie all'elemento separato
- Possibilità di utilizzare in un posto umido e inquinato, grazie all'applicazione di filtri ad alta densità in lega di sinterizzazione
- Adatto per la trasmissione a lunga distanza grazie la possibilità di utilizzare la bassa tensione (9V)
- resistente ad alte umidità e polveri

Specifiche tecniche & Modelli

Range: 0~100%RH / -20~80°C

Accuratezza: $\pm 2.0\%RH$ / $\pm 0.3^\circ C$

Uscita: 4~20mA (2 vie)

Alimentazione: 12Vdc or 240Vdc (6~30Vdc)



HTX82D (W) - FTC: Umidità (4 ~ 20mA), temperatura (4 ~ 20mA)

HTX82D (W) - FHC Umidità (4 ~ 20mA)

HTX82D (W) - FBC: temperatura (4 ~ 20mA)

HTX82D (W) - FPC - PT100: Umidità (4 ~ 20mA), Collegamento diretto con un elemento termico

HTX82D (W) - FBC - PT100: Collegamento diretto con un elemento termico

* "Collegamento diretto con un elemento termico": tutte PT100, PT1000, NI1000, NTC5K e NTC10K sono disponibili.

Appendice 2 – Scheda tecnica PID

CENTRALINA DI GESTIONE



X2 pro 10

10" HMI with iX runtime

- 1024 x 600 pixel (16:9)
- TFT-LCD touch screen
- 1.5 GB application memory
- Ethernet 2x100 Mbit
- -10°C to +60°C operating temperature
- CE, FCC, KCC, UL approvals
- DNV GL, KR, LR, ABS, CCS, BV, NK marine approvals

Terminale Touch Screen 10" per visualizzazione, controllo e memorizzazione dati sensore accessibili via ftp e controllabile da remoto.

Grafica e funzionalità saranno personalizzate sull'applicazione con visualizzazione in tempo reale del trend dell'andamento dei VOCs.



Il terminale di controllo sarà fornito in box chiuso e provvisto di alimentatore, morsettiere di I/O e gateway per aggiornamento e service da remoto (collegamento Internet a cura del Cliente).

Segnale acquisito dal PID con Protocollo MODBUS RTU, segnale analogico di uscita 4-20 mA disponibile per interfacciamento al Vs Sistema di acquisizione.

Detector fisso VOC

La tecnologia PID più sicura al mondo oggi è ancora più sicura! FALCO opera anche in presenza di condensa e in condizioni climatiche estreme.



Migliori performance

- Unico detector VOC ideato appositamente per operare in condizioni climatiche estreme
- La Tecnologia Typhoon elimina la condensa che si forma all'interno del PID
- Sensore innovativo; minimizza derive nelle misurazioni e riduce i tempi morti

Massima sicurezza

- Elimina le letture false rilevate con altri PID
- Display con avvisi multicolor, visibile fino a 20 metri di distanza
- Dotato di una lampada dalla lunga durata; ca. due anni di uso continuativo.
- Certificazione Ex d

Massima flessibilità

- Disponibili modelli a pompa o a diffusione
- Unità con pompa ideale per aree di difficile accesso
- Modello a diffusione riduce i costi di manutenzione
- Disponibili quattro range di rilevazione
- Possibilità di selezionare diversi fattori di risposta per vari VOC

Le applicazioni includono:

- Industria manifatturiera • Raffinerie & settore petrolchimico • Settore sostanze chimiche •

Specifiche tecniche
Sensore Fotoionizzazione con lampada 10.6 eV
Range e sensibilità rilevazione 10.0 ppm* 0.001 ppm 50.0 ppm* 0.01 ppm 1000 ppm* 0.1 ppm 3000 ppm* 1 ppm
Tempo di risposta (T90) <30 secondi (a diffusione)
Interfaccia Display: schermo ad alto contrasto OLED, nero su bianco: 128 (w) x 64 (h) pixel Dimensioni schermo: 35 mm (w) x 17.5 mm (h) 5 interruttori magnetici con conferma LED Fornito di Magnete per scorrere il menù
Indicatore avvisi Avvisi forniti da indicatori luminosi: ROSSO, VERDE, GIALLO
Certificazioni II 2G Ex d ih IIC T4 Gb ISO9001:2008
Condizioni Ambientali Senza pompa: -40°C a 60°C Con pompa: -20°C a 60°C 0-100% RH e condensa/umidità
Interfaccia 2 x ingressi per cavi 3/4" NPT (sinistra e destra) 2 x 3/4" NPT - M20 in acciaio inossidabile(forniti)
Dimensioni Con pompa: 200 (h) x 190 (w) x 125 (d) mm Senza pompa: 290 (h) x 190 (w) x 125 (d) mm
Punti di fissaggio 2 x M8
Potenza input Vantaggio di lavoro: 12 a 40 Vdc Potenza massima: 2 watt
Uscite 4 a 20 mA (attivo e passivo) RS485 supporta Modbus® protocol Relè x 2 SPST (60 Vdc 2A) - configurabile

Trattamento acque di scarico • Industria cartaria • Settore farmaceutico • IAQ • Sistema di recupero solventi • Vernici industriali • Outdoor air quality •

FALCO è il detector fisso a fotoionizzazione di ultima generazione, in grado di rilevare in continuo un'ampia gamma di composti organici volatili (VOC). Unica ed esclusiva di FALCO è la rivoluzionaria Tecnologia Typhoon, che protegge il sensore dalla condensa, per una maggiore affidabilità in condizioni climatiche difficili. Falco, inoltre, incorpora la tecnologia brevettata Fence Electrode, che elimina gli effetti dell'umidità..

FALCO fornisce performance innovative; affidabilità, accuratezza e risultati su cui contare. Garantisce la massima protezione dell'impianto e dei lavoratori. Grazie alla resistenza all'umidità e al design anti-contaminazione, le derive nelle misurazioni sono ridotte al minimo, consentendo di risparmiare tempo e denaro.

FALCO elimina le letture false rilevate con altri PID. Gli avvisi multicolor sul display LED possono essere visti da venti metri di distanza anche sotto luce diretta del sole garantendo la tempestività dell'informazione in caso di pericolo.

FALCO è dotato di un sensore esterno a Sicurezza Intrinseca, per una manutenzione facile e veloce. La doppia certificazione consente a FALCO di essere mantenuto in ambienti pericolosi senza la necessità di togliere l'alimentazione.

intuitivo e facile da usare, grazie all'interfaccia user-friendly. Ha sei interruttori magnetici con LED di conferma, uno schermo OLED ad alto contrasto e un'interfaccia grafica che facilita e velocizza l'installazione e la manutenzione.

RS485 (Modbus®), uscita 4-20 mA e relè sono standard in tutti i modelli. Le uscite a relè sono configurabili per allarmi di alto o basso pericolo, di malfunzionamento guasto o test.

FALCO offre il massimo in termini di flessibilità e può essere acquistato con uno dei quattro range disponibili, sia nel modello con pompa sia nel modello a diffusione.

Appendice 3 – Dimensionamento colonna abbattimento H₂S

SCRUBBER DESIGN (PACKED COLUMN)									
Input Data		Stream : Air + H ₂ S							
Packing type	=	5/8 inch - Pall ring							
Packing size	=	16 mm							
Packing MOC	=	PP Polipropilene							
Gas pr. Drop / m bed	=	15 mmWC / m packing height						=	147,1 (N/m ²)/m
Total packing height	=	2,0 m (including all packed beds)							
Gas / Vapour Properties									
Gas / Air flow rate	=		kg/h	OR		30 m ³ /h			
	=	0,0000	kg/s		=	0,008333	m ³ /s		
Gas pressure at entry	=	1,0 atm							
Gas temperature at entry	=	30 °C		=	303,00 °K		Hp: Isotherm		
Gas / Air mol weight	=	29							
Component to be scrubbed									
Component Name	=	H ₂ S Vapore							
Component flow rate	=	0,003 Kg/h		Hp: 100 mg/Nmc					
% comp. in air/gas	=	0,0077 % (v/v)		(presumed)					
Molecular weight of comp.	=	34							
Liquid / Scrubbing media Properties									
Scrubbing media	=	5%-20% NaOH (to be defined during start-up phase)							
Liquid flow rate, L	=	1100 kg/h		max					
	=	0,3056		kg/s					
Liquid Density, σ_L	=	1100 kg/m ³		Conversion :					
Liquid Viscosity, μ_L	=	0,0013000 Ns/m ²		1,3 C _p		=	0,00130000 Ns/m ²		
Packing factor, F _p	=	315 m ⁻¹							
Charac. Packing Factor, C _f	=	97		Ref. Table 6.3, Characteristics of Random packings					
Conversion factor, J	=	1,0		factor for adequate liquid distribution & irrigation across the bed					
Calculations							Refer Table		

TO CALCULATE COLUMN DIAMETER

Since larger flow quantities are at the bottom for an absorber, the diameter will be chosen to accommodate the bottom conditions.

To calculate Gas density

Avg. molecular weight = 29 Kg / Kmol

If gas flow rate is given in kg/h

$$\begin{aligned} \text{Gas in} &= 0 \text{ Kmol/s} \\ &= (\text{kmol/s}) \times \left(\frac{T \text{ in kelvin}}{273} \right) \times \left(\frac{1.0 \text{ atm}}{\text{pr. In atm}} \right) \times \left(\frac{22.4}{1} \right) \\ &= 0,000000 \text{ m}^3/\text{s} \end{aligned}$$

(kmol = mass / mol wt)

If gas flow rate is given in m3/h

$$\begin{aligned} \text{Gas in} &= (\text{m}^3/\text{s}) \times \left(\frac{273}{T \text{ in kelvin}} \right) \times \left(\frac{\text{pr. in a}}{1.0 \text{ atm}} \right) \times \left(\frac{1}{22,4} \right) \\ &= 0,000335 \text{ Kmol/s} \\ &= 0,009721 \text{ Kg/s} \\ &\quad (\text{mass} = \text{mol wt} \times \text{kmol}) \end{aligned}$$

Select vol. flow rate and mass flow rate from above,

Selected mass flow rate = 0,0097205 Kg/s
 Selected vol. Flow rate = 0,00833333 m³/s
 Selected molar flow rate = 0,00033519 Kmol/s

Therefore, gas density = 1,17 Kg/m³ (mass flow rate / vol. Flow rate)

To find L', G' and Tower c/s area

Assuming essentially complete absorption,

Component removed = 0,0000009 Kg/s (molar flow rate x % comp. x mol. Wt.)
 Liquid leaving = 0,3055564 Kg/s (Inlet liquid flow rate + comp. Removed)

$$\frac{L'}{G'} \left(\frac{\sigma_G}{\sigma_L} \right)^{0,5} = 1,02363$$

Using 1,0236 as ordinate, Refer fig.6.34 using a gas pressure drop of 147,1 (N/m²)/m

$$\frac{G'^2 C_f \mu_L^{0,1} J}{\sigma_G (\sigma_L - \sigma_G) g_c} = 0,009 \text{ (from graph)}$$

Refer fig 6.34

$$\begin{aligned} \text{Therefore, } G' &= \left[\frac{0,009 \sigma_G (\sigma_L - \sigma_G) g_c}{C_f \mu_L^{0,1} J} \right]^{0,5} \\ &= 0,4808 \text{ Kg / m}^2 \cdot \text{s} \end{aligned}$$

Tower c/s area = 0,0202 m² (c/s area = mass flow rate / G')

Tower diameter = 0,1604 m = 160 mm
 = 150 mm

Corresponding c/s area = 0,0177 m²

TO ESTIMATE POWER REQUIREMENT				
Efficiency of fan / blower	=	70 %	assumed / given	
To calculate pressure drop				
Pressure drop for irrigated packing	=	294,20 N/m ²	(pressure drop per m packing x total ht. of packing)	
For dry packing,				
O/L Gas flow rate, G'	=	0,5500 Kg / m ² .s	(Gas inlet flow rate - Component removed) / c/s area	
O/L Gas pressure	=	101030,801 N/m ²	(subtracting pressure drop across packing)	
Gas density, σ_g	=	$\left(\frac{\text{gas mol wt.}}{22.41 \text{ m}^3/\text{Kmol}} \times \left(\frac{273}{T_{\text{in kelvin}}} \right) \left(\frac{\text{gas o/l pr.}}{101330} \right) \right)$		
	=	1,1625 Kg/m ³		
C _D	=	207	Ref. Table 6.3, Characteristics of Random packings	
Delta P Z	=	$C_D \left[\frac{G'^2}{\sigma_g} \right]$	Refer Table	
	=	53,87 N/m ²		
Pressure drop for packing	=	348,07 N/m ²	(irrigated packing + dry packing)	
Pressure drop for internals	=	25 mmWC	(packing supports and liquid distributors)	
	=	245,17 N/m ²		
Gas velocity	=	7,5 m/s		
Inlet expansion & outlet contraction losses	=	1.5 x Velocity heads	= 1.5 x (V ² / 2g)	
	=	42,19 N m / Kg		
	=	49,21 N/m ²	(divide by density)	
Total pressure drop	=	642 N/m ²	(packing + internals + losses)	
Fan power output	=	$\frac{\text{pressure drop, N/m}^2 \times (\text{gas in - component removed}) \text{ Kg/s}}{\text{O/L gas density, Kg/m}^3}$		
	=	5,37 N .m / s		
	=	0,01 kW		
Power for fan motor	=	0,008 kW	(fan power output / motor efficiency)	
	=	0,01 hp		

COLUMN DIAMETER / HYDRAULIC CHECK			
Liq.-Vap. Flow factor, F_{LV}	=	$(L/V) \times \sqrt{(\sigma/\rho)}$	
	=	1,0236	
Design for an initial pressure drop of	15	mm H ₂ O /m packing	
From K_4 v/s F_{LV} ,			
K_4	=	0,22	For values of K_4 , refer fig 11.44
K_4 at flooding	=	0,60	
Trial % flooding	=	$(\sqrt{K_4 / K_4 \text{ at flooding}}) \times 100$	
	=	60,6	
Gas mass flow rate, V_m	=	$\left[\frac{K_4 \cdot \sigma \cdot V (\sigma - \sigma_v)}{13.1 F_p (\mu_L / \sigma)^{0.1}} \right]^{(1/2)}$	
	=	0,5172 kg/m ² .s	
Trial column c/s area (Trial A_s)	=	V / V_m	
	=	0,0188 m ²	
Trial column dia., D	=	0,1547 m	$D = \sqrt{(4/\pi) \times \text{Trial } A_s}$
Round off 'D' to nearest standard size			
Therefore, D	=	0,150 m	
Column C/S area, A_s	=	0,0177 m ²	$A_s = (\pi/4) \times D^2$
% flooding	=	64	% flooding = Trial % flooding x (Trial A_s / A_s)
Conclusion			
Generally packed towers are designed for 50% -- 85% flooding.			
If flooding is to be reduced,			
(i) Select larger packing size and repeat the above steps.			
OR			
(ii) Increase the column diameter and repeat the above steps.			
HETP PREDICTION			
Norton's Correlation :	$\ln \text{HETP} = n - 0.187 \ln \sigma + 0.213 \ln \mu$		
Input Data	Conversion :		
Liquid-phase	0,074 N/m	=	74 dyne/cm
Surface Tension, σ	=	74 dyne/cm	
Liquid Viscosity	=	1,3 cP	
n	=	0,87740	
Calculation			
In HETP	=	0,12842342	For values of 'n' Refer Table 6.2
HETP	=	1,137 ft	
	=	0,35 m	

Table 6.2[Back](#)**Constant for HETP Correlation**

Atmospheric Distillation 153

Table 6 – 2
Constant for HETP Correlation
(Equation 6-20)

Tower Packing	Value of n
#25 IMTP® Packing	1.13080
#40 IMTP® Packing	1.31850
#50 IMTP® Packing	1.56860
1 in. Pall Ring	1.13080
1½ in. Pall Ring	1.35820
2 in. Pall Ring	1.65840
1 in. Intalox® Saddle	1.13080
1½ in. Intalox® Saddle	1.39020
2 in. Intalox® Saddle	1.72330

Ref.: Random Packings and Packed Towers ---- Strigle

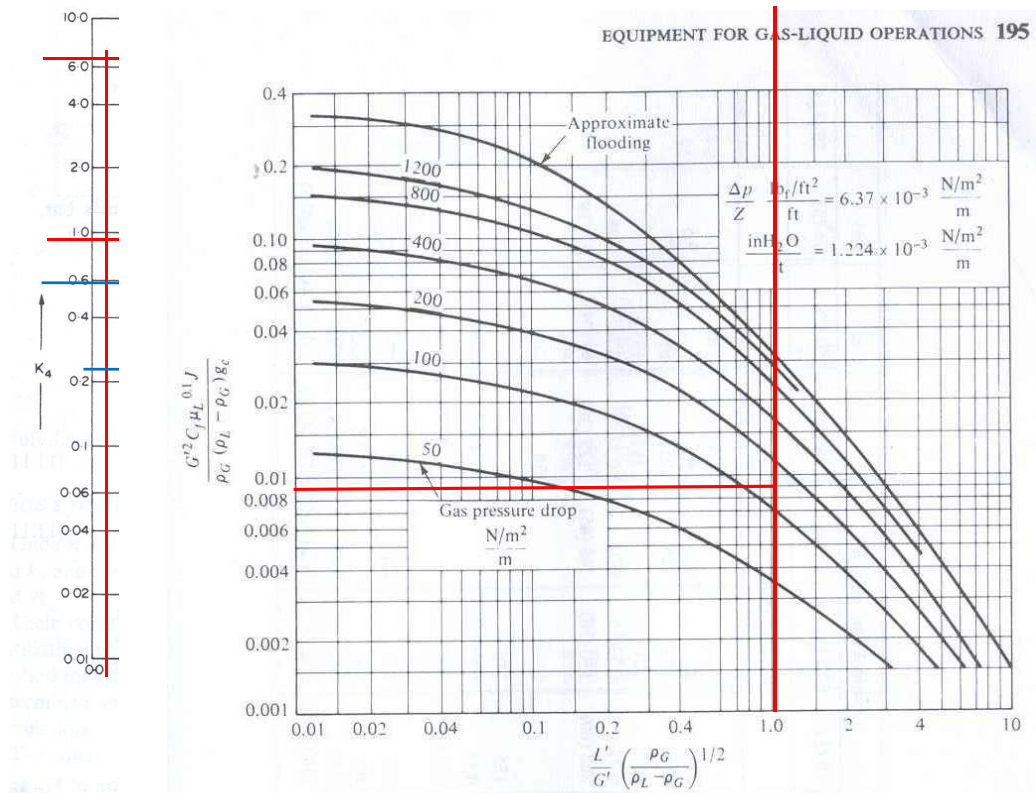


FIG. 11.44. (C) Equipment for gas-liquid operations. For SI units $g_c = 1$. C from

Ref. : : Mass Transfer Operation : : Treybal

Table 6.3 Characteristics of random packings†

Packing	Nominal size, mm (in)										
	6 (¼)	9.5 (⅜)	13 (½)	16 (⅝)	19 (¾)	25 (1)	32 (1¼)	38 (1½)	50 (2)	76 (3)	89 (3½)
	Raschig ring										
Ceramic:											
Wall thickness, mm	0.8	1.6	2.4	2.4	2.4	3	4.8	4.8	6	9.5	
C _f	1600	1000	580	380	255	155	125	95	65	37	
C _D			909	749	457	301		181.8	135.6		
ε	0.73	0.68	0.63	0.68	0.73	0.73	0.74	0.71	0.74	0.78	
a _p , m ² /m ³ (ft ² /ft ³)	787 (240)	508 (155)	364 (111)	328 (100)	262 (80)	190 (58)	148 (45)	125 (38)	92 (28)	62 (19)	
Metal:											
0.8-mm wall:											
C _f	700	390	300	170	155	115					
ε	0.69		0.84		0.88	0.92					
a _p , m ² /m ³ (ft ² /ft ³)	774 (236)		420 (128)		274 (83.5)	206 (62.7)					
1.6-mm wall:											
C _f			410	290	220	137	110	83	57	32	
C _D			688	431	485	304		172.9	133.5		
ε			0.73		0.78	0.85	0.87	0.90	0.92	0.95	
a _p , m ² /m ³ (ft ² /ft ³)			387 (118)		236 (71.8)	186 (56.7)	162 (49.3)	135 (41.2)	103 (31.4)	68 (20.6)	

Pall rings											
Plastic:											
C_f				97		52		40	25		16
C_D				207		105.2		61.8	47.5		23.9
ϵ				0.87		0.90		0.91	0.92		0.92
a_p , m ² /m ³ (ft ² /ft ³)				341 (104)		206 (63)		128 (39)	102 (31)		85 (26)
Metal:											
C_f				70		48		28	20		16
C_D				133.4		95.5		56.6	36.5		
ϵ				0.93		0.94		0.95	0.96		
a_p , m ² /m ³ (ft ² /ft ³)				341 (104)		206 (63)		128 (39)	102 (31)		
Flexirings:											
C_f				78		45		28	22		18
ϵ				0.92		0.94		0.96	0.96		0.97
a_p , m ² /m ³ (ft ² /ft ³)				345 (105)		213 (65)		131 (40)	115 (35)		92 (28)
Hy-pak:‡											
C_f						45			18	15	
C_D						88.1			28.7	26.6	
ϵ						0.96			0.97	0.97	

Table 6.3 Continued

Table 6.3 Continued

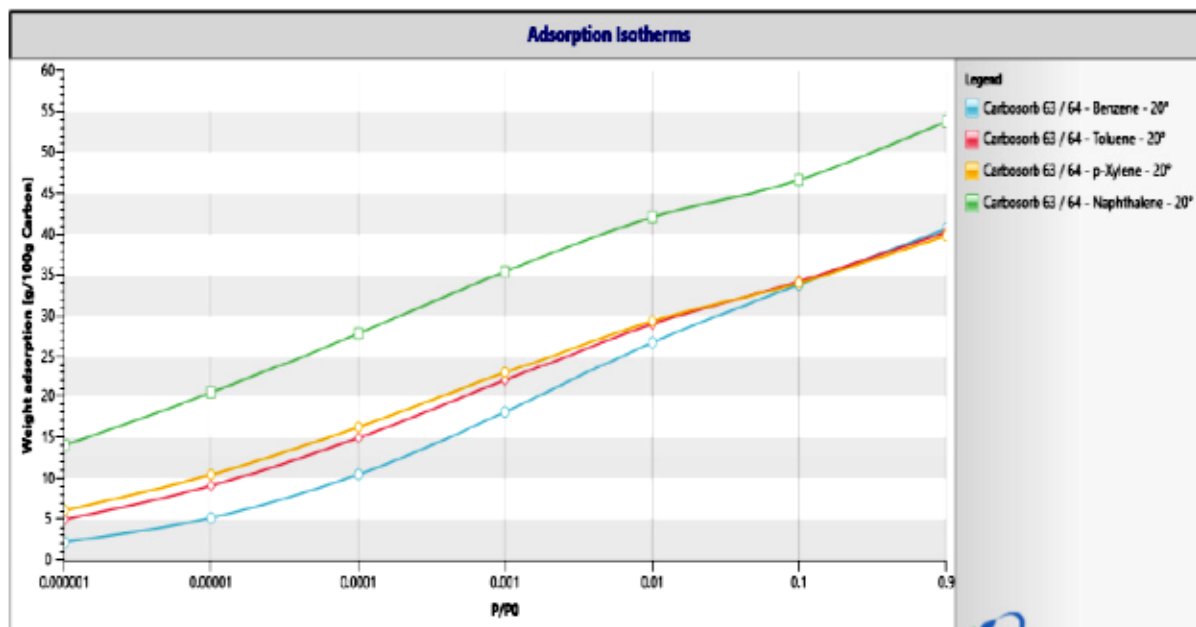
Packing	Nominal size, mm (in)										
	6 (1/4)	9.5 (3/8)	13 (1/2)	16 (5/8)	19 (3/4)	25 (1)	32 (1 1/4)	38 (1 1/2)	50 (2)	76 (3)	89 (3 1/2)
	Berl saddles										
Ceramic:											
C_f	900		240		170	110		65	45		
C_D			508		295	184					
ϵ	0.60		0.63		0.66	0.69		0.75	0.72		
$a_p, m^2/m^3 (ft^2/ft^3)$	899 (274)		466 (142)		269 (82)	249 (76)		144 (44)	105 (32)		
	Intalox saddles										
Ceramic:											
C_f	725	330	200		145	98		52	40	22	
C_D			399		256	241.5		96.2	71.3	40.6	
ϵ	0.75		0.78		0.77	0.775		0.81	0.79		
$a_p, m^2/m^3 (ft^2/ft^3)$	984 (300)		623 (190)		335 (102)	256 (78)		195 (59.5)	118 (36)		
Plastic:											
C_f						33			21	16	
C_D						96.7			56.5	30.1	
ϵ						0.91			0.93	0.94	
$a_p, m^2/m^3 (ft^2/ft^3)$						207 (63)			108 (33)	89 (27)	

Super Intalox											
Ceramic:†											
C_f						60			30		
C_D						123			63.3		
ϵ						0.79			0.81		
$a_p, m^2/m^3 (ft^2/ft^3)$						253 (77)			105 (32)		
Plastic:‡											
C_f						33			21	16	
C_D						79.5			53.5	30.1	
ϵ						0.90			0.93	0.94	
$a_p, m^2/m^3 (ft^2/ft^3)$						207 (63)			108 (33)	89 (27)	
Tellerettes											
Plastic:										67-mm	95-mm (R)
C_f						40			20		
C_D						0.87			0.93	0.93	0.92
ϵ											
$a_p, m^2/m^3 (ft^2/ft^3)$						180 (55)			112 (34)	112 (34)	

† Data are for wet-dumped packing from Chemical Process Products Division, Norton Co.; Koch Engineering Co.; Celcolte Co.; *Chemical Engineering Progress*, and *Chemical Engineering*.

‡ Sizes, 1, 2, and 3.

Appendice 4 - Isotherme, capacità di adsorbimento del carbone attivo per diversi inquinanti e scheda tecnica



L'efficacia del carbone attivo dipende da innumerevoli fattori, quali la temperatura, l'umidità relativa, il tempo di contatto, la velocità e la distribuzione dell'aria attraverso il letto di carbone, la natura e la concentrazione delle sostanze contaminanti.

La tabella qui di seguito, faciliterà l'identificazione del grado di adsorbibilità delle diverse sostanze chimiche sulle nostre qualità di carbone attivo della linea aria.

La numerazione da 1 a 4 che affianca ciascuna sostanza, ha il seguente significato:

- 1 = eccellente adsorbimento, dell'ordine del 30% in peso
- 2 = buon adsorbimento, dell'ordine del 15% in peso
- 3 = debole adsorbimento, normalmente inferiore al 5% in peso
- 4 = la sostanza non viene adsorbita in misura apprezzabile.

Elenco delle capacità di adsorbimento di alcune sostanze in fase gassosa su carbone attivo:

Acetaldeide	3	Bromo	1	Dipropilchetone	1	Nitrobenzeni	1
Acetato di butile	1	Bromuro di etile	2	Disinfettanti	1	Nitroetano	1
Acetato di etile	1	Bromuro di metile	2	Eptano	1	Nitroglicerina	1
Acetato di metile	2	Butadiene	2	Eptilene	1	Nitroluene	1
Acetato di propile	1	Butano	3	Esano	2	Nitrometano	1
Acetato isopropilico	1	Butanone	3	Esilene	2	Nitropropano	1
Acetilene	4	Butene	3	Etano	4	Oli lubrificanti e grassi	1
Acido acetico	1	Butilcellosolve	1	Etere	2	Ossido di etilene	1
Acido acrilico	1	Butilcloruro	1	Etere amilico	1	Ossido di metile	2
Acido bromidrico	3	Butilene	3	Etere butilico	1	Ottano	1
Acido butirrico	1	Canfora	1	Etere dicloroetilico	1	Ozono	1
Acido caprilico	1	Carburanti liquidi	1	Etere etilico	2	Pentano	1
Acido cianidrico	3	Cellosolve	1	Etere isopropilico	1	Pentanone	2
Acido cloridrico	3	Cellosolve acetato	1	Etere metilico	2	Pentene	1
Acido fluoridrico	3	Cherosene	1	Etere propilico	1	Percloroetilene	2
Acido formico	2	Cibi aromatici	1	Etilacrilato	1	Piridina	1
Acido iodidrico	3	Cicloesano	1	Etilammina	2	Profumi	1
Acido lattico	1	Cicloesanolo	1	Etilbenzene	1	Propano	1
Acido nitrico	2	Cicloesanone	1	Etilene	4	Propilene	3
Acido palmitico	1	Cicloesene	1	Etilmercaptano	1	Propilmercaptano	3
Acido propionico	1	Cloridrina etilenica	1	Eucaliptolo	1	Putrescina	1
Acido solforico	1	Cloro	3	Fenolo	1	Resine	1
Acido urico	1	Clorobenzene	1	Fluorotriclorometano	2	Solfuro di carbonio	1
Acido valerianico	1	Clorobutadiene	1	Formaldeide	3	Solfuro di idrogeno	3
Acrilato di metile	1	Cloroformio	1	Fosgene	2	Stirene	3
Acrilonitrile	1	Cloronitropropano	1	Freon	2	Tetracloroetano	1
Acroleina	2	Cloropicrina	1	Fumo di sigarette	1	Tetracloroetilene	1
Adesivi	1	Cloruro di etile	2	Gas corrosivi	3	Tetracloruro di carbonio	1
Alcol amilico	1	Cloruro di metile	3	Idrogeno	4	Toluene	1
Alcol butilico	1	Cloruro di metilene	1	Idrogeno solforato	3	Toluidina	1
Alcol isopropilico	1	Cloruro di propile	1	Incenso	1	Tricloroetilene	1
Alcol metilico	2	Cloruro di vinile	2	Indolo	1	Urea	1
Alcol propilico	1	Creosolo	1	Iodio	1	Xilene	2
Aldeide butilica	2	Creosoto	1	Iodoformio	1		
Aldeide crotonica	1	Decano	1	Isoprene	2		
Aldeide valerianica	1	Deodoranti	1	Mentolo	1		
Amilacetato	1	Detergenti	1	Mercaptani	1		
Ammine	3	Diclorobenzene	1	Metano	4		
Anidride acetica	1	Diclorodifluorometano	2	Metilbutilchetone	1		
Anidride solforica	3	Dicloroetano	1	Metilcellosolve	1		
Benzene	1	Dicloroetilene	1	Metilcellosolve acetato	1		
		Dicloromonofluorometa					
Biossido d'azoto	3	no	2	Metilcicloesano	1		